



Comprimidos x 14  
Suspensión x 30 y 60 ml.



Comprimidos x 14  
Suspensión x 50 y 90 ml.



Comprimidos x 14  
Suspensión x 50 ml

$$\begin{matrix} \# \text{ de Coordinación} = \\ \# \text{ de Primeros Vecinos} \end{matrix}$$



Comprimidos x 16  
Suspensión x 60 ml.  
Suspensión x 90 ml.

Una sustancia compuesta en general no tiene suficiente simetría ni orden de largo alcance.



Comprimidos x 10

así como No presenta estructura cristalina.



Comprimidos x 6  
Suspensión x 30 y 60 ml.



Comprimidos x 10 y 20



Penicilina Benzatínica  
Ampollas de 1.200.000 U.I. x 1

Ampollas de 2.400.000 U.I. x 1

La celda primitiva tiene 1 solo punto de la red (si no hay base)



A la vanguardia en antibióticoterapia  
[www.bago.com.ar](http://www.bago.com.ar)

## ■ Introducción

Física nuclear trata energías del ~ MeV; en física del sólido es de ~ eV  
Las columnas de la tabla periódica determinan el # de electrones de valencia. Son estos los responsables de las uniones químicas → generan conductores, aislantes, SC, ferromagnéticos, etc.

Fases son variedades alótropicas en las cuales se presentan los elementos

Sólidos →  $\left\{ \begin{array}{l} \bullet QM \& R \\ \bullet Mecánica estadística \end{array} \right.$

distancias interatómicas ~ Å

Sólidos →  $\left\{ \begin{array}{l} \bullet \text{cristalinos} : \text{las posiciones de los átomos forman un conjunto ordenado [estructura cristalina]} \\ \bullet \text{amorfos} : \text{no tienen estructura ordenada. Vidrios, líquidos, plásticos, etc.} \end{array} \right.$

Una estructura cristalina es una disposición periódica de puntos en el espacio. Metálos, sales y minerales tienen estructura cristalina.

- Orden de corto alcance: referido a igual situación local en cada punto
- Orden de largo alcance: simetría de trascisión

• Cristalográficamente

- Sólido cristalino (órdenes de corto & largo alcance)
- Sólido amorfos (orden de corto)
- Sólido desordenado (no hay orden)
- Sólido superordenado (varias periodicidades)
- Sólido conductor
- " aislante
- " SC [ $T=0$  es un aislante]
- Sólido ferromagnético
- " Para magnético
- " Diamagnético
- " Antimagnético

• Transporte:

• Magnetismo:

## ■ Redes Cristalinas

La caracterización cristalográfica usa rayos X. Considerando simetría de trascisión define una red cristalina

Red de Bravais: arreglo infinito de puntos discretos que aparece el mismo desde cualquier punto (en #coord. y en orientación es la misma situación)

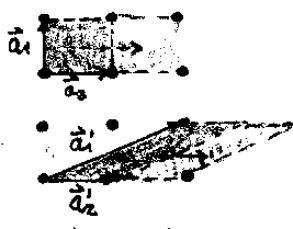
Todo punto  $\vec{R}$  de la red se pone como:

$$\vec{R} = n_1 \vec{a}_1 + n_2 \vec{a}_2 + n_3 \vec{a}_3$$

con  $\{\vec{a}_i\}$  = vectores primitivos

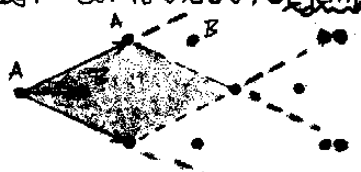
Hay muchas  $\{\vec{a}_i\}$ ; pero el área encerrada será la misma

$$n_i \in \mathbb{Z}$$



Celda Primitiva: volumen en la red tal que sombreado a trascisiones o través de los  $\{\vec{a}_i\}$  llena todo el espacio sin overlap

Una estructura se puede dar también como una red de Bravais + una base en los casos en que todos los puntos no conforman una red sino sólo un subconjunto o ser como didad. Ejemplo:



$$\text{Estructura} = \text{Red Bravais} + \left\{ \begin{array}{l} \vec{x}_B \\ \vec{a}_1, \vec{a}_2 \\ \vec{a}_3 \end{array} \right\}$$

Átomos en la base

$$\vec{r}_j = x_j \vec{a}_1 + y_j \vec{a}_2 + z_j \vec{a}_3$$

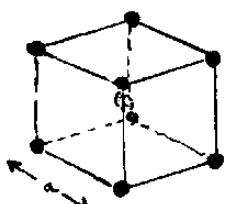
$$0 < x, y, z < 1$$

Las sustancias iónicas son buenos ejemplos de Redes base

Celda de Wigner-Seitz: celda primitiva que tiene la simetría de la red. Es la región que se halla más cerca a un punto de la red que cualquier otro punto.  
Se construye por intersección de planos.

## ■ Redes Cúbicas

• BCC

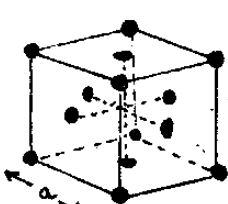


Volumenes específicos

$$8 \cdot \frac{1}{8} + 1 = 2 \rightarrow V = \frac{a^3}{2}$$

#1V = 8

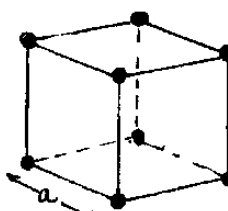
• FCC



$$8 \cdot \frac{1}{8} + 6 \cdot \frac{1}{2} = 4 \rightarrow V = \frac{a^3}{4}$$

#1V = 12

• SC



$$8 \cdot \frac{1}{8} = 1 \rightarrow V = a^3$$

#1V = 6

▲ La más densamente empacada

Hay grupos puntuales cristalográficos según las simetrías puntuales.

$$\alpha = \beta = \gamma = \frac{\pi}{2}$$

$a = b = c \rightarrow$  BCC, FCC, SC (cúbicas)

$$\alpha = \beta = \gamma = \frac{\pi}{2}$$

$a \neq b \neq c \rightarrow$  Ortorrómbicas

etc.

Las simetrías puntuales son operaciones tales que conservando un punto y sometiendo al cristal a una operación no cambian en nada su situación

Rotaciones en  $\frac{2\pi}{n}$

Reflexiones

Inversiones

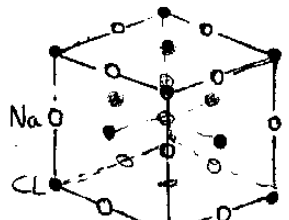
Rotación + Reflexión

Rotación + Inversión

## ■ Estructuras Iónicas

CLNa

Los FCC desplazadas

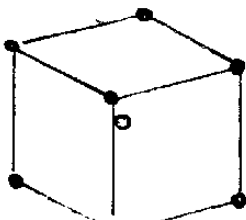


Red SC  $\oplus$  (CL)  $\begin{cases} 3 \text{ átomos CL} \\ 0 \text{ CL} \\ 1 \text{ átomo Na} \end{cases}$

Red FCC  $\oplus$  (CL)  $\begin{cases} 0 \text{ CL} \\ 1 \text{ átomo Na} \end{cases}$

CLCe

Es una BCC



Red SC  $\oplus$  (CL)  $\begin{cases} 1 \text{ átomo (Ce)} \\ 0 \text{ CL} \end{cases}$

Además del  $\bar{O}$ , punto de la base será igual totalmente en la celda primitiva (cuando es un átomo diferente al de  $\bar{O}$ ).

Cuando tenga átomos iguales al  $\bar{O}$  en la base irán tantos átomos como el # de zonas (contando las fracciones) que tiene en celda prim (sin describir con los  $a_i$ )

CLNa  $\rightarrow$  SC (CL)  $\rightarrow$  tenga  $\frac{CL}{(CL)} + 1(1/2) + 2(1/2) = 3$  átomos en base

Na

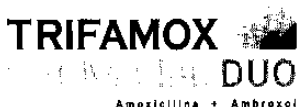
1 integramente en celdas primarias



Comprimidos x 14  
Suspensión x 30 y 60 ml.



Comprimidos x 14  
Suspensión x 50 y 90 ml.



Comprimidos x 14  
Suspensión x 50 ml



Comprimidos x 16  
Suspensión x 60 ml.  
Suspensión x 90 ml.



Comprimidos x 10



Comprimidos x 6  
Suspensión x 30 y 60 ml.



Comprimidos x 10 y 20



Penicilina Benzatínica  
Ampollas de 1.200.000 U.I. x 1  
Ampollas de 2.400.000 U.I. x 1



A la vanguardia en antibióticoterapia

## Potencial Periódico

Debido a la estructura cristalina consideraremos un potencial:

$$U(\vec{r} + \vec{R}) = U(\vec{r})$$

$\nabla \vec{R} \in$  Red de Bravais

Como la escala de la periodicidad es  $\sim \text{Å}$   $\rightarrow$  necesitamos GM. La periodicidad perfecta es rota por:

- impurezas
- defectos por excitación térmica
- vibraciones de los átomos

Estas imperfecciones hacen que la  $\sigma$  no sea  $\infty$ . Una situación más realista es:

$$U(\vec{r}) = U_{\text{periódico}} + \underline{\delta U} \quad \rightarrow \text{lo que rompe la periodicidad entre como perturbación}$$

Seguimos usando electrón independiente

$$\mathcal{H}^{\frac{1}{2}} = \left[ -\frac{\hbar^2}{2m} \nabla^2 + U(\vec{r}) \right]^{\frac{1}{2}} = E^{\frac{1}{2}} \quad [1]$$

hamiltoniano para 1 electrón en potencial  $U(\vec{r})$  periódico

Electrón de Bloch: electrón indepde. sujeto a  $U$  periódica

■ Teorema de Bloch: los autoestados del de en [1] pueden elegirse como:

$$\psi_{nk}(\vec{r}) = e^{i\vec{k} \cdot \vec{r}} \cdot U_{nk}(\vec{r})$$

donde  $U_{nk}(\vec{r})$  es periódica en la red. Las soluciones son ondas planas multiplicadas por un término periódico. Se puede ver como:

$$\psi_{nk}(\vec{r} + \vec{R}) = e^{i\vec{k} \cdot \vec{R}} \psi_{nk}(\vec{r})$$

• De la demostración vemos que: las soluciones  $\psi_{nk}(\vec{r})$  están asociadas a los  $\vec{k}$  que pertenecen a la red recíproca, pues se requiere

$$\vec{k} \cdot \vec{R} = 2\pi m \Rightarrow$$

$$\vec{k} = k_1 \vec{b}_1 + k_2 \vec{b}_2 + k_3 \vec{b}_3$$

donde

$$\vec{b}_i \cdot \vec{a}_j = 2\pi \delta_{ij}$$

observación  
Los  $k$  son # de onda de ondas planas que valen 1 en los sitios de la red  
 $e^{i\vec{k} \cdot \vec{R}} = 1$

• La demostración usa que  $[\mathcal{H}, \hat{T}_{\vec{R}}] = 0$ ; donde  $\hat{T}_{\vec{R}}$   $\equiv$  operador de traslado.

## Planos Cristalinos

Contiene tres puntos de la red de Bravais (No colineales)  $\Rightarrow$  un plano es una red de Bravais 2D.

Una familia de planos es un conjunto de planos // equiespaciados los cuales contienen todos los puntos de la red.

### Teorema:

$\nabla$  familia de planos separados 'd' hay vectores  $\perp$  en tales que el más corto mide  $\frac{2\pi}{d}$

la red recíproca

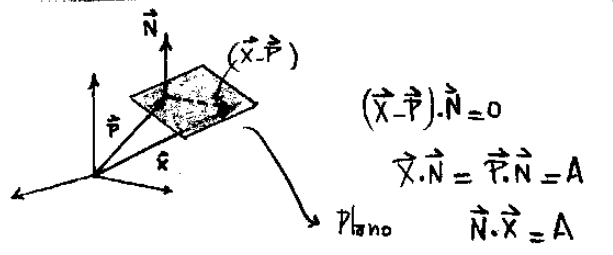
Esto permite clasificar planos cristalinos

Índices de Miller: coordenadas del vector de la red recíproca normal al plano en cuestión más corto respecto de un set  $\{\vec{a}_i\}$ . Un plano con  $\vec{n}_{hkl}$  es normal al:

$$\vec{R} = h\vec{b}_1 + k\vec{b}_2 + l\vec{b}_3$$

Los índices de Miller son enteros y sin factores comunes. Veamos algo de su significado geométrico.

### Sobre Planos



$$\vec{K} \cdot \vec{X} = A \quad \text{con } \vec{K} \in \text{red reciprocua}$$

$$\vec{K} = h\vec{b}_1 + k\vec{b}_2 + l\vec{b}_3 \Rightarrow$$

$$\left. \begin{array}{l} \vec{K} \cdot \vec{a}_1 = 2\pi h \\ \vec{K} \cdot \vec{a}_2 = 2\pi k \\ \vec{K} \cdot \vec{a}_3 = 2\pi l \end{array} \right\} \Rightarrow$$

si  
selección  
alternativa  
entonces

$$\begin{cases} \vec{X} = x_1 \vec{a}_1 \\ \vec{X} = x_2 \vec{a}_2 \\ \vec{X} = x_3 \vec{a}_3 \end{cases}$$

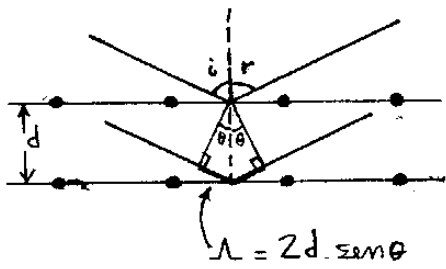
Entonces el plano interceptará a los vectores primitivos en:  $(x_1 = \frac{A}{2\pi h}; x_2 = \frac{A}{2\pi k}; x_3 = \frac{A}{2\pi l})$

$$x_1 : x_2 : x_3 \rightarrow \frac{1}{h} : \frac{1}{k} : \frac{1}{l}$$

### Difracción de Rayos X

Necesito examinar estructuras del orden del Å  $\Rightarrow \lambda \sim \text{Å} \Rightarrow v = \frac{c}{\lambda} \rightarrow E \sim 10 \text{ keV}$   
Con neutrones y electrones no es tan conveniente.

En 1912 se ve que los cristales pueden hacer de redes de difracción. Bragg es el primero en estudiar el tema  $\rightarrow$  había picos para ciertos ángulos

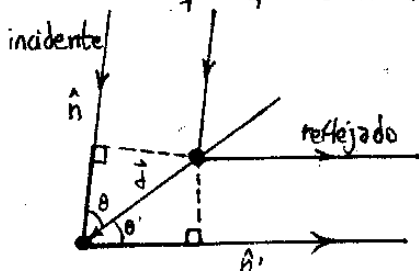


- Los rayos X se reflejan en los planos
- Condición de interferencia constructiva cuando:

$$n\lambda = 2d \sin \theta \quad n \in \mathbb{Z} \quad \text{cuando la distancia recorrida es múltiplo entero de la } \lambda$$

Cada forma de orientar el cristal tendrá sus reflexiones particulares y hay  $\infty$  orientaciones

Existe otro enfoque que es el de Von Laue:



$$\lambda = d \cos \theta + d \cos \theta'$$

La reflexión se produce en los iones

$$\vec{J} \cdot (\vec{k} - \vec{k}') = 2\pi m \quad \Rightarrow \text{si toda la red interfiere constructivamente}$$

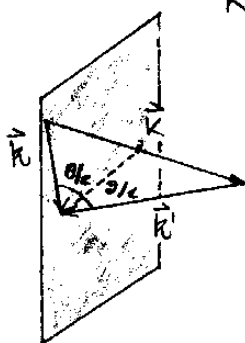
vibración del vector de onda de la radiación incidente  $k = \frac{2\pi}{\lambda}$

$$\vec{R} \cdot (\vec{k} - \vec{k}') = 2\pi m \quad \nabla \vec{R} \text{ de la red real}$$

$\Rightarrow \vec{R} = \vec{k} - \vec{k}' \in \text{red reciprocua}$  cuando hay interferencia constructiva

$$\vec{R} = \vec{k} - \vec{k}' \rightarrow |\vec{R}| = \sqrt{(\vec{k})^2 + (\vec{k}')^2 - 2|\vec{k}||\vec{k}'| \cos \theta}$$

$$K = 2 \cdot k \cdot \sin \left( \frac{\theta}{2} \right)$$



$$\hat{\vec{R}} \cdot \hat{\vec{K}} = \frac{|\vec{R}|}{2}$$

La punta de  $\vec{k}$  y  $\vec{k}'$  se halla en un plano de Bragg

Se puede escribir como m veces de la más corta

$$|\vec{R}| = m \frac{2\pi}{d} = 2k \sin \theta$$

$$m\lambda = 2d \sin \theta$$

Son equivalentes Bragg y Von Laue



Comprimidos x 14  
Suspensión x 30 y 60 ml.



Comprimidos x 14  
Suspensión x 50 y 90 ml.



Comprimidos x 14  
Suspensión x 50 ml



Comprimidos x 16  
Suspensión x 60 ml.  
Suspensión x 90 ml.



Comprimidos x 10



Comprimidos x 6  
Suspensión x 30 y 60 ml.



Comprimidos x 10 y 20



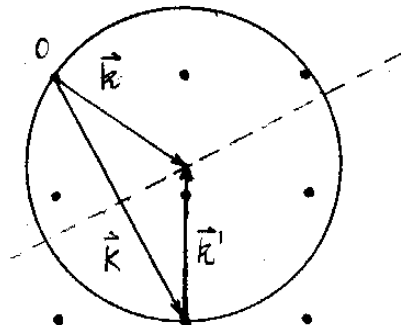
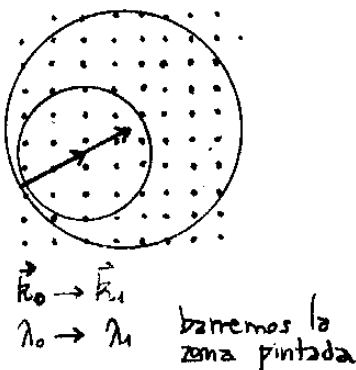
Ampollas de 1.200.000 U.I. x 1  
Ampollas de 2.400.000 U.I. x 1



Hay varios métodos de hacer difracción con rayos X:

- Método de Laue: se barre un intervalo [con  $\vec{k}$  fijo] de  $(\lambda_0, \lambda_1)$  y el cristal fija.

Usamos la construcción de Ewald



- esfera de radio  $|\vec{k}_0|$  para  $\theta = 0$
- Si algún punto cae en la esfera  $\Rightarrow$  vale Laue para ese punto pues  $\vec{K} = \vec{k}_0 - \vec{k}'$

- Método del cristal rotante:

$\vec{k}$  fijo  $\rightarrow \vec{k}$  fijo  
 $\theta$  varía



- Método de Debye-Scherrer:

rayos X monocromáticos pero venimos el ángulo de incidencia rotando el cristal. La esfera de Ewald está fija pero rota la red recíproca, produciéndose picos en ciertos ángulos [cuando algún sitio toca la esfera]

rayos X monocromáticos pero venimos el ángulo de incidencia rotando el cristal. La esfera de Ewald está fija pero rota la red recíproca, produciéndose picos en ciertos ángulos [cuando algún sitio toca la esfera]

### ■ La Red reciproca

La red reciproca es importante porque es lo que realmente "veθ" cuando se hace un experimento de difracción. Puede definirse la red reciproca en el momento de hablar de difracción como consecuencia de ella.

{ $\vec{b}_{ij}$  vectores primitivos de la red reciproca}

$$\begin{aligned} \vec{b}_1 &= \frac{2\pi}{\sqrt{V}} \cdot \vec{a}_2 \times \vec{a}_3 & V &= \vec{a}_1 \cdot (\vec{a}_2 \times \vec{a}_3) \\ \vec{b}_2 &= \frac{2\pi}{\sqrt{V}} \cdot \vec{a}_3 \times \vec{a}_1 \\ \vec{b}_3 &= \frac{2\pi}{\sqrt{V}} \cdot \vec{a}_1 \times \vec{a}_2 \end{aligned}$$

La red reciproca puede definirse como el conjunto de  $\vec{R}$  tales que la onda plana tiene la periodicidad de la red real.

$$e^{i(\vec{k} \cdot \vec{r})} = e^{i\vec{k} \cdot (\vec{r} + \vec{R})} = e^{i\vec{k} \cdot \vec{r}} \cdot e^{i\vec{k} \cdot \vec{R}} = 1$$

$$1 = e^{i\vec{k} \cdot \vec{R}} \Rightarrow \vec{k} \cdot \vec{R} = 2\pi m$$

$$k_1 n_1 + k_2 n_2 + k_3 n_3 = 2\pi m \quad (s: \vec{b}_{ij} \cdot \vec{a}_j = 2\pi \delta_{ij})$$

con  $m \in \mathbb{Z}$

Primer zona de Brillouin: celda primitiva de Wigner-Seitz en la red recíproca.  
El volumen de la celda primitiva es independiente del set {d<sub>i</sub>}.

### ■ factores de estructura

En los casos de redes monatómicas con base se tendrá ascienda una diferencia de fase  $\phi_0$  debida a la presencia de dos átomos (o más) por celda primitiva  $(\vec{J}_i - \vec{J}_j) \cdot \vec{R} = \phi_0$

$$S_K = \sum_{j=1}^n e^{i \vec{K} \cdot \vec{d}_j}$$

Está suma es  
en la base

;  $\vec{d}_j$  = ubicación del átomo j-ésimo de la base

$\vec{R}$  = vector general de la red recíproca

Cuando los átomos en la base no son idénticos tenemos un factor de forma atómico:

$$S_K = \sum_{j=1}^n f_j(\vec{R}) e^{i \vec{K} \cdot \vec{d}_j}$$

En los casos de difracción aquellos  $h, k, l$  tales que  $S_K = 0$  no aportan a la interferencia constructiva. No todos los vectores  $\vec{R}$  de la red recíproca serán 'visibles' como picos de difracción.

## ■ Propiedades de Transporte

Queremos explicar la conducción de electricidad y calor



Comprimidos x 14  
Suspensión x 30 y 60 ml.

$$\vec{J} = \sigma \vec{E}$$

corriente

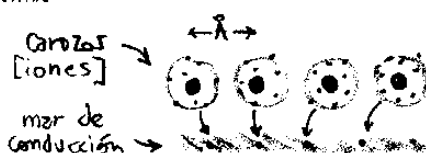
$$\vec{Q} = -K \nabla T$$

fluye de calor

Aproximación de  
Respuesta lineal



Comprimidos x 14  
Suspensión x 50 y 90 ml.



De los átomos se desprenden algunos de los electrones de valencia y pasan a formar parte de un mar de conducción.

$N_A$  átomos  
mol.

$$n = N_A Z \frac{f}{A} = \frac{N}{V}$$

densidad de  
electrones

definimos :  $\frac{V}{N} = \frac{1}{\lambda^3} = \frac{4}{3} \pi r_s^3$  radio de la esfera asociada  
a un electrón.

$r_s \approx 3a_0$  → Densidad  $\gg$  gas clásico (en principio no se justifica la fMB)

hipótesis :

- No hay interacción entre colisiones [electrón-ión] (positivo)
- Electrón libre (los e- no ven la red de iones sino como un 'fondo')
- Electrón independiente (los e- no se ven entre sí)
- Las colisiones se rigen por las leyes de Newton y son instantáneas (modifican  $\vec{v}$ )
- La probabilidad de colisión por unidad de tiempo es de  $1/T$

$T \equiv$  tiempo de relajación (tiempo medio que viaja un e- sin colisionar)

No depende de  $\vec{v}$  ni de  $\vec{F}$

- El electrón scatterea y termaliza colisionando con los iones de la red.

$$\frac{1}{2} m v^2 = \frac{3}{2} k_B T + f_{MB}$$

NOTA  
Implica  $v_0(T=0) = 0$



Comprimidos x 6  
Suspensión x 30 y 60 ml.



Comprimidos x 10 y 20

$$\delta E = -e \vec{v} \cdot \vec{E} t$$

$$\frac{\partial E}{\partial v} = m v$$

$$\delta v = \frac{\partial v}{\partial E} \delta E = \frac{1}{m v} \cdot -e \vec{v} \cdot \vec{E} t \rightarrow \langle \delta \vec{v} \rangle = -\frac{e E \vec{t}}{m}$$

$$\vec{J} = -n e \langle \delta \vec{v} \rangle = \frac{n e^2 T}{m} \vec{E} \Rightarrow \sigma = \frac{n e^2 T}{m}$$

$T \approx 10^{-11}$  seg. ← tiempo de relajación

$\lambda \sim 10 \text{ \AA}$  ← Camino libre medio ( $T_{MB}$ )

$v_0 \sim 10^7 \frac{\text{cm}}{\text{seg}}$  ← velocidad media ( $T_{MB}$ )



Penicilina Benzatínica  
Ampollas de 1.200.000 U.I. x 1  
Ampollas de 2.400.000 U.I. x 1

$$\sigma = \frac{1}{P} \quad P \text{ resistividad}$$

$$\lambda = v_0 \cdot T \rightarrow$$



A la vanguardia en antibioticoterapia  
[www.bago.com.ar](http://www.bago.com.ar)

Un electrón pasa menos tiempo sin chocar

La  $v_0$  es un orden de magnitud menor que la experimental ( $T_{MB}$ ) y no coincide a  $T=0$ . Drude da a  $T=0$   $v=0$  y  $\lambda=0$

$$\tau \propto \frac{1}{T} \quad \text{A mayor } T \text{ menor } \tau \Rightarrow (\text{Más colisiones})$$

El modelo de Drude funciona parcialmente para los elementos IA (1e- de valencia).

$$\frac{d\vec{p}}{dt} = -\frac{\vec{p}(t)}{\tau} + \vec{F}(t)$$

Ecación de movimiento de un electrón

Prob. de no colisionar en un  $dt$

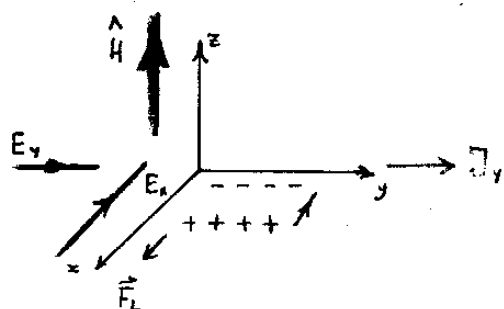
$$(1 - \frac{dt}{\tau})$$

$$\vec{p}(t+\delta t) = \left[1 - \frac{\delta t}{\tau}\right] (\vec{p}(t) + \vec{F}(t))$$

### MAGNETORESISTENCIA & COEF. HALL

Aplicamos  $\begin{cases} E_y \rightarrow \text{tengo } J_y \rightarrow \text{los e- van en } -\hat{y} \text{ se genera un } E_x \\ H_z \end{cases}$

$$\vec{F}_L = \frac{q}{c} \vec{v} \times \vec{H}$$



$$\rho(H) = \frac{E_x}{H}$$

Magnetoresistencia

$$R_H = \frac{E_x}{J_y H}$$

constante Hall

$$\text{con } \frac{d\vec{p}}{dt} = 0 \rightarrow$$

$$\frac{\vec{p}}{\tau} = -e\vec{E} - \frac{e}{c} \vec{v} \times \vec{H}$$

$$\frac{p_y}{\tau} = -eE_y - \frac{e p_x H_z}{mc}$$

$$\frac{p_x}{\tau} = -eE_x - \frac{e p_y H_z}{mc}$$

$$\vec{J} = -\frac{n e \vec{p}}{m}$$

Para elementos IA sale bien, pero no para metales.

El coeficiente Hall → es negativo.

$$R_H = -\frac{1}{nec}$$

↔

$$-\frac{m J_y}{n e \tau} = -e E_y + \frac{J_x H}{nc}$$

$$-\frac{m J_x}{n e \tau} = -e E_x + \frac{J_y H}{nc}$$

$$J_x = 0 \rightarrow \frac{E_x}{J_y H} = -\frac{1}{enc} = R_H$$

### Conductividad AC

\* Ahora analizamos un campo  $\vec{E}(t)$  pero uniforme en el espacio. Para AC se tiene:

$$\vec{J}(\omega) = \left( \frac{\sigma_0}{1-i\omega T} \right) \vec{E}(\omega) \quad \sigma = \frac{n e^2 T / m}{1 - i\omega T} \quad (\text{con } \omega \rightarrow 0 \text{ vamos a Drude DC})$$

Vale con  $\lambda \gg \lambda$  (Podemos pensar  $\vec{E} \neq \vec{E}(r)$ )

Con este supuesto resolvemos Maxwell →

$$\nabla^2 \vec{E} = -\omega^2 / c^2 \in \vec{E}$$

← Ecación de ondas para  $\vec{E}$

$$\epsilon = 1 + \frac{4\pi\epsilon_0\sigma}{\omega}$$

constante dielectrica

con  $\omega T \gg 1$

$$\epsilon = 1 - \frac{\omega_p^2}{\omega^2}$$

$$\text{con } \omega_p^2 = \frac{4\pi n e^2}{m} \quad [\text{frecuencia del plasma}]$$

$\omega_p > \omega$  La  $E \in \mathbb{R}$  y  $\epsilon < 0 \Rightarrow \vec{E}$  decrece exponencialmente no penetra

$\omega_p < \omega$  La  $E \in \mathbb{R}$  y  $\epsilon > 0 \Rightarrow \vec{E}$  es oscilatorio hay propagación penetra el metal

Este modelo ajusta aproximadamente la experiencia para los alcalinos.

### Conductividad Térmica

El modelo de Drude explica la ley empírica de Wiedemann & Franz. Se asume que la conductividad térmica es debida a los electrones.

$$\frac{K}{\sigma} \propto T$$

(cociente entre conductividades)

[Para metales se obtiene]

$$\# \text{de Lorentz} \rightarrow \frac{K}{\sigma T} \sim 2-3$$

Se llega a:

$$K = \frac{1}{3} \Lambda \nu C_V$$

Metiendo:  $C_V = \frac{3}{2} n k_B$  y

$$\frac{1}{2} m v^2 = \frac{3}{2} k_B T$$

$$\rightarrow \frac{K}{\Lambda T} = 1,1 \cdot 10^{-8} \frac{W \cdot K^2}{K^2}$$

Bastante bien

**TRIFAMOXIBL DUO**  
Amoxicilina + Sulbactam

Comprimidos x 14  
Suspensión x 30 y 60 ml.

**TRIFAMOX DUO**  
Amoxicilina

Comprimidos x 14  
Suspensión x 50 y 90 ml.

**TRIFAMOX DUO**  
Amoxicilina + Ambroxol

Comprimidos x 14  
Suspensión x 50 ml

**SEPTILISIN**  
Cefalexina Bago

Comprimidos x 16  
Suspensión x 60 ml.  
Suspensión x 90 ml.

Acomoda N electrones en los primeros N niveles de un electrón libre con BC Boltzmann

**SEPTICIDE**  
Ciprofloxacina Bago

Comprimidos x 10  
Von Karman

**VIXCEF**

Comprimidos x 6  
Suspensión x 30 y 60 ml.

**UROSEPTAL**  
NORFLOXACINA

Comprimidos x 10 y 20

**Pen Di Ben**  
Penicilina Benzatínica

Ampollas de 1.200.000 U.I. x 1  
Ampollas de 2.400.000 U.I. x 1

EM2 (5)

$$C_V = \frac{3}{2} n k_B \quad \frac{1}{2} m v^2 = \frac{3}{2} k_B T$$

$$\left. \begin{array}{l} C_V 100 \text{ veces mayor} \\ v 100 \text{ veces menor} \end{array} \right\} \leftarrow \text{Errores Drude que se compensaron}$$

## ■ Teoría de los Metáles de Sommerfeld

Drude usa  $f_{MB}$   $\rightarrow C_V = \frac{3}{2} k_B$  por electrón (No observada)

Con la GM se ve que el principio de exclusión pide:

$$f_{MB} \rightarrow f_{FD} = \frac{1}{e^{\beta(E-\mu)} + 1} \quad \rightarrow n = \int d\vec{v} f_{FD}(\vec{v})$$

Sommerfeld considera un gas de electrones libres e indepientes cuánticos. Arrancamos a  $T=0$  (igualmente También es muy similar para f<sub>FD</sub> que para f<sub>MB</sub>). Pensamos N electrones en V llenando niveles energéticos de acuerdo a Pauli  $\rightarrow$  calcularemos los niveles de 1 electrón y los llenaremos con N

$$\frac{\hbar^2}{2m} \nabla^2 \psi(\vec{r}) = E \psi(\vec{r})$$

$$\psi(x, y, z) = \psi(x+L, y, z)$$

$$\psi(x, y, z) = \psi(x, y+L, z)$$

$$\psi(x, y, z) = \psi(x, y, z+L)$$

$$\rightarrow \psi_k(\vec{r}) = \frac{1}{L^{1/2}} e^{i \vec{k} \cdot \vec{r}} \quad E_k = \frac{\hbar^2 k^2}{2m} \quad \vec{p} = \hbar \vec{k} \quad \vec{r} = \int |\psi|^2 d\vec{r}$$

Los  $\psi_k$  son autoestados del operador  $\vec{p}$ . Las cc llevan a discretización de los  $\vec{k}$ .

$$k_i = \frac{2\pi}{L} n_i$$

$$n_i \in \mathbb{Z}; i=x, y, z$$

Una región (grande respecto a  $2\pi/L$ ) del espacio  $k$  contiene:

$$\# k's \text{ permitidos por unidad de volumen} = \frac{L^d}{(2\pi)^d}$$

Metiendo N electrones en los niveles de un electrón:

$$1 \vec{k} \rightarrow 2 \text{ estados electrónicos } (\uparrow, \downarrow)$$

ocupo hasta un  $\vec{k}_F$  (de Fermi) tal que define una esfera con

$$V = \frac{4}{3} \pi k_F^3 \Rightarrow \# \text{ electr. permitidas} = 2 \left( \frac{4}{3} \pi k_F^3 \right) \frac{L^d}{8\pi^d}$$

$$\frac{N}{L^d} = n = \frac{k_F^3}{3\pi^2}$$

El estado fundamental ( $T=0$ ) de N electrones tiene todos los niveles 1-e hasta  $k_F$  ocupados y los siguientes vacíos.

los únicos electrones que conducen son los ubicados en la superficie de Fermi

$$E_F = \frac{\hbar^2 k_F^2}{2m}$$

$$v_F = \frac{\hbar}{m} k_F \sim 10^8 \frac{\text{cm}}{\text{seg}} \quad v_F \sim 1\%$$

A  $T=0$  los electrones tienen velocidad importante.



**Bago**  
A la vanguardia en antibioticoterapia  
www.bago.com.ar

con  $T=0$  es  $f_{FD} = \begin{cases} 1 & k < k_F \\ 0 & k > k_F \end{cases}$

$$E = 2 \sum_{k < k_F} \frac{\hbar^2 k^2}{2m}$$

$$E = 2 \left(\frac{L}{2\pi}\right)^d \int d\vec{k} \frac{\hbar^2 k^2}{2m}$$

$$E = 2 \left(\frac{L^3}{8\pi^3}\right) 4\pi \int_0^{k_F} \frac{\hbar^2 k^2}{2m} dk$$

$$E = \frac{L^3}{\pi^2} \frac{\hbar^2}{2m} \frac{k_F^5}{5} \rightarrow \frac{E}{V} = \frac{1}{\pi^2} \frac{\hbar^2 k_F^5}{10m} \rightarrow \frac{E}{V} \cdot \frac{V}{N} = \frac{E}{N} = \frac{1}{k^2} \frac{\hbar^2 k_F^5}{10m} \cdot \frac{3\pi^3}{k_F^3}$$

$$\frac{E}{N} = \frac{3}{10m} \frac{\hbar^2 k_F^2}{2} = \frac{3}{5} E_F \rightarrow E = \frac{3}{5} E_F$$

$$E_F \equiv k_B T_F \quad \text{con } T_F \sim 10^4 K$$

Observación

Tenemos Energía a  $T=0$ , cosa totalmente contra la intuición de gás ideal pero a favor del enunciado.

$$E = \frac{3}{5} k_B T_F \quad (T=0)$$

$$E_{\text{clásica}} = \frac{3}{2} k_B T$$

$$E_{\text{clásica}} = 0 \quad (T=0)$$

Energía por partícula

$$\Rightarrow E(T=0) \approx E_{\text{clásica}}(T \sim 10^4 K) \Rightarrow \text{TAMBÉS} \sim T=0 \text{ para un metal y este esquema funciona aproximadamente}$$

Nota: Dado que  $E \propto k^2 \Rightarrow$  los electrones más débilmente ligados son los que tienen el  $k \approx k_F$   $\Rightarrow$  Parece que la conducción la realizan los electrones que viven en la superficie de Fermi. Para elementos IA la sup. de Fermi es esférica; mientras que para Cu, Ag, Au [nuevos] es casi esférica. Estos elementos tienen un solo electrón de valencia débilmente unido.

$$B = \frac{1}{\epsilon} = -V \frac{\partial P}{\partial V}$$

Módulo de Bulk es la inversa (negativa) de la compresibilidad. Da según el rango para algunos metales, con lo cual estos electrones representan una parte importante de las propiedades elásticas.

## Densidad de Estados

Número de estados por unidad de volumen por unidad de energía

$$\# \text{de estados entre } k \text{ y } k + \delta k \rightarrow \frac{2}{(2\pi)^3} \left(\frac{4\pi}{3}\right) 3k^2 \delta k = 2 \cdot \frac{4\pi k^2}{(2\pi)^3} \delta k = \delta N(k).$$

Pasamos al # de estados entre  $\epsilon$  y  $\epsilon + d\epsilon$

$$\epsilon = \frac{\hbar^2 k^2}{2m} \rightarrow d\epsilon = \frac{\hbar^2}{2m} 2k dk$$

$$\frac{\sqrt{2m\epsilon}}{\hbar} = k$$

$$\frac{m}{\hbar^2} d\epsilon = k dk$$

$$\sqrt{2m\epsilon} \cdot \frac{m}{\hbar^2} d\epsilon = k^2 dk$$

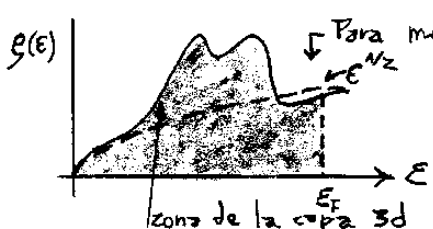
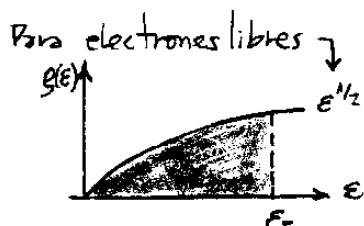
$$N(\epsilon) = 2 \cdot \frac{4\pi}{(2\pi)^3} \frac{\sqrt{2m\epsilon}^{3/2}}{\hbar^2} d\epsilon$$

$$N(\epsilon) = \frac{V}{2\pi^2} \left(\frac{2m}{\hbar^2}\right)^{3/2} \epsilon^{1/2} d\epsilon$$

$$g(\epsilon) = \frac{dn}{d\epsilon}$$

$$D(\epsilon) = \frac{dN}{d\epsilon}$$

$$g(\epsilon) = \frac{N(\epsilon)}{V \cdot d\epsilon} = \frac{1}{2\pi^2} \left(\frac{2m}{\hbar^2}\right)^{3/2} \epsilon^{1/2}$$



La densidad de estados  $g(\epsilon)$  aparece en las integrales debido a que:

$$N = \int dn = \int_{-\infty}^{\epsilon_F} \left( \frac{dn}{d\epsilon} \right) d\epsilon \quad (\text{a } T=0)$$

$$N = \int \left( \frac{dn}{d\epsilon} \right) f_{FD}(\epsilon) \cdot d\epsilon \quad (\text{a } T \neq 0)$$

$$N = \int d\epsilon \cdot \square \cdot f_{FD}(\epsilon)$$

$$E = \int d\epsilon \cdot \square \cdot \epsilon \cdot f_{FD}(\epsilon)$$

También aparece en E

donde  $\square$  son factores del pasaje al continuo y de la relación de dispersión  $\epsilon = \epsilon(k)$

### ■ Propiedades Térmicas

**TRIFAMOX DUO**

Amoxicilina + Sulbactam

Comprimidos x 14

Suspensión x 30 y 60 ml.

**TRIFAMOX DUO**

Amoxicilina + Ambroxol

Comprimidos x 14

Suspensión x 50 ml

**SEPTILISIN**

Cefalexina Bago

Comprimidos x 16

Suspensión x 60 ml.

Suspensión x 90 ml.

**SEPTICIDE**

Ciprofloxacina Bago

Comprimidos x 10

Sommerfeld solucionó el problema del  $C_v$

**VIXCEF**

Comprimidos x 6

Suspensión x 30 y 60 ml.

**UROSEPTAL**

Norfloxacina

Comprimidos x 10 y 20

**Pen Di Ben**

Penicilina Benzatínica

Ampollas de 1.200.000 U.I. x 1

Ampollas de 2.400.000 U.I. x 1

**Bago**

Ala vanguardia en antibióticoterapia  
www.bago.com.ar

$$C_v = \frac{3}{2} n k_B$$

Es 100 veces mayor que el  $C_v$  experimental

Para un gas de electrones libres e indepientes. la dependencia de E con T se halla en:

$$f_{FD}(\epsilon) = \frac{1}{e^{(\epsilon - \mu)/k_B T} + 1}$$

La integral de la energía es ahora:

$$E = \frac{E}{V} = \int_{-\infty}^{+\infty} d\epsilon \underbrace{g(\epsilon)}_{\text{densidad de estados}} \epsilon \cdot f_{FD}(\epsilon)$$

$$C_v = \left( \frac{\partial E}{\partial T} \right)_V$$

Usando un lema de Sommerfeld:

$$\int_{-\infty}^{\infty} \frac{\Phi(x) \cdot dx}{e^{x-\beta} + 1} \approx \int_0^{\beta} \Phi(x) \cdot dx + \frac{\pi^2}{6} \cdot \frac{d\Phi}{dx} \Big|_{\beta} + \frac{7\pi^4}{360} \cdot \frac{d^2\Phi}{dx^2} \Big|_{\beta}$$

se tiene:

$$C_v = \frac{\pi^2}{2} \left( \frac{k_B T}{E_F} \right) n k_B \Rightarrow C_v \propto T \rightarrow \text{con } T \text{ bajas}$$

Comparando con el  $C_v$  clásico vemos que a  $T_{AMB}$   $C_v = \frac{1}{100} C_v$  clásico

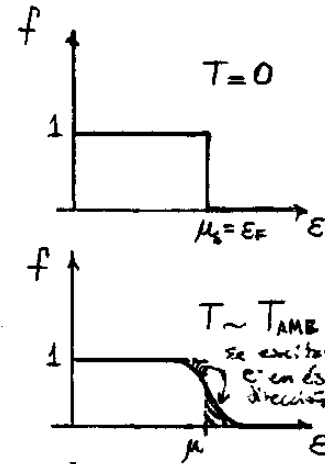
Este  $C_v$  que estamos analizando es la contribución de los electrones solamente.

Con T más altas hay aportes a  $C_v$  de otros grados de libertad (los grados de libertad iónicos van como  $T^3$  y para  $T \gg 0$  el aporte es mucho menor que los grados de libertad electrónicos).

Estos resultados están bien para IA, los metales alcalinos y los nobles ( $Cu, Ag, Au$ ); sin embargo no funciona para ciertos elementos pesados donde los electrones de conducción  $\text{No}$  comparten como electrones libres.

El modelo de electrón libre  $\oplus f_{FD}$  aún adolece de problemas como:

- Coeficiente de Hall
- Magnetoresistencia
- Ley de Wiedemann-Franz
- No se predice existencia de SC



## ■ Electrones casi-libres

Hay que abandonar la hipótesis de electrón libre  $\Rightarrow$  los electrones sienten un  $U(\vec{r})$  periódico dado por los húedos.

Tenemos funciones de Bloch como solución:

$$\psi_{nk}(\vec{r}) = e^{i\vec{k} \cdot \vec{r}} U_{nk}(\vec{r}) \quad y \quad \psi_{nk}(\vec{r} + \vec{R}) = e^{i\vec{k} \cdot \vec{R}} \cdot \psi_{nk}(\vec{r})$$

Es conveniente meter condiciones de contorno periódicas Born-Von Karman

$$BC \left\{ \begin{array}{l} \bullet \psi(\vec{r} + N_i \vec{a}_i) = \psi(\vec{r}) \quad i=1,2,3 \\ \bullet N = N_1, N_2, N_3 \quad \# \text{ de celdas primitivas del cristal} \end{array} \right.$$

Esto lleva a:

$$e^{iZ\pi N_i k_i} = 1 \Rightarrow k_i = \frac{m_i}{N_i} \quad m_i \in \mathbb{Z}$$

donde  $\vec{K} = k_1 \vec{b}_1 + k_2 \vec{b}_2 + k_3 \vec{b}_3$  pertenece a la red reciproca

Se han discretizado los  $\vec{K}$  de la  $\psi_{nk}(\vec{r})$

$$\vec{K} = \sum_i \frac{m_i}{N_i} \vec{b}_i$$

$$\Delta \vec{K} = \frac{\vec{b}_1 \cdot (\vec{b}_2 \times \vec{b}_3)}{N_1 N_2 N_3} = \frac{1}{N} \frac{(2\pi)^3}{\sqrt{V}}$$

$$\Delta \vec{K} = \frac{(2\pi)^3}{V}$$

Volumen del espacio reciproco para valor de  $\vec{K}$  permitido

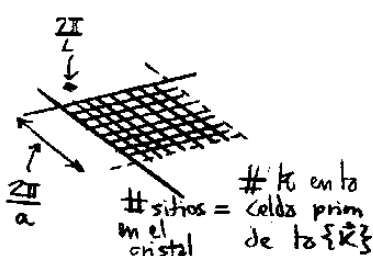
Volumen espacioso de los  $\vec{K}$  permitidos  $\rightarrow \Delta \vec{K} = \frac{1}{N} V^1$

volumen de una celda primitiva en la red reciproca

El # de vectores  $\vec{K}$  permitidos en una celda de la red reciproca es igual al # de sitios en el cristal

Sobre la Discretización

$$\Delta \vec{k} = \frac{1}{N} \left( \frac{2\pi}{a} \right)^3$$



Las ondas planas son base completa para las soluciones  $\psi_{nk}(\vec{r})$   
Born-Von Karman. Asimismo  $U(\vec{r})$  se puede expandir también  
Fijamos  $U_0 = 0$  y se llega a:

Set de Ecuaciones  $\rightarrow$

$$\left[ \frac{\hbar^2}{2m} (\vec{k} - \vec{K})^2 - \epsilon \right] C_{\vec{k}-\vec{K}} + \sum_{\vec{K}'} U_{\vec{K}-\vec{K}'} C_{\vec{K}-\vec{K}'} = 0 \quad [1]$$

$$U_k \neq 0 \Leftrightarrow k \in \{\vec{K}\}$$

donde:

$$\psi(\vec{r}) = \sum_g C_g e^{i\vec{q} \cdot \vec{r}}$$

$$U(\vec{r}) = \sum_{\vec{K}} U_{\vec{K}} e^{i\vec{K} \cdot \vec{r}}$$

Para  $\vec{k}$  fijo (en la 1ZB) las ecuaciones acoplan los  $C_{\vec{k}}$  cuyos vectores de onda difieren de  $\vec{k}$  en un vector  $\in \{\vec{K}\}$ .  
 $\rightarrow k, k-K, k-K', ...$

Problema original  $\rightarrow$  N problemas independientes (1 por cada  $k \in 1ZB$ )

$$\psi_{\vec{k}}(\vec{r}) = \sum_{\vec{K}} C_{\vec{k}-\vec{K}} e^{i(\vec{k}-\vec{K}) \cdot \vec{r}}$$

La [1] da origen al llamado diagrama de bandas. La reducción a la 1ZB se hace con el cambio de variables

$$\vec{q} = \vec{k} - \vec{K} \quad \in \{\vec{K}\}$$

$\vec{k} \in 1ZB$

$\vec{q}$  no en la 1ZB se separa  $\rightarrow \vec{k} \in 1ZB$



Comprimidos x 14  
Suspensión x 30 y 60 ml.



Comprimidos x 14  
Suspensión x 50 y 90 ml.



Comprimidos x 14  
Suspensión x 50 ml



Comprimidos x 16  
Suspensión x 60 ml.  
Suspensión x 90 ml.



Comprimidos x 10



Comprimidos x 6  
Suspensión x 30 y 60 ml.



Comprimidos x 10 y 20

s. la banda esté llena  $\Rightarrow$



Penicilina Benzatínica  
Ampollas de 1.200.000 U.I. x 1  
Ampollas de 2.400.000 U.I. x 1

Decimos  $2n$  porque con spin  $\frac{1}{2}$   $\rightarrow n=1$

spin  $\frac{3}{2} \rightarrow n=2$  ( $\frac{3}{2}, \frac{1}{2}, -\frac{1}{2}, -\frac{3}{2}$ )  
etc.

**Bago**  
A la vanguardia en antibioterapia  
[www.bago.com.ar](http://www.bago.com.ar)

banda totalmente llena  $\Rightarrow$

$\forall k \in 1ZB$  tengo todos los electrones ( $2N_q$ ), que puedes tener

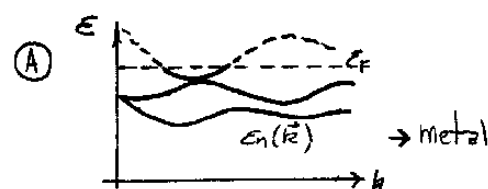
## Consecuencias de los electrones de Bloch

- A.  $k \neq \alpha \vec{p} \Rightarrow$  autoestados de  $\hat{H}$  no son de  $\hat{p}$
- B. Trabajo en la  $1ZB \Rightarrow$  el  $\vec{q}$  de Bloch está confinado
- C.  $\forall k \in 1ZB$  existen ' $n$ ' soluciones de la ecuación de Schrödinger continuas en  $k$
- D.  $E_n(\vec{k})$  son periódicas en  $\vec{k}$  con periodicidad  $\vec{K}$

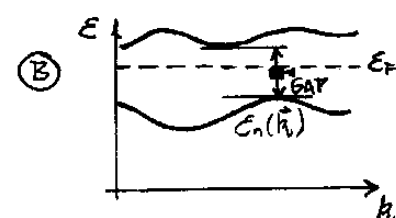
$$E_n(\vec{k}) = E_n(\vec{k} + \vec{K})$$

$\Rightarrow$  define bandas de energía

- E. Lleno niveles de acuerdo a Pauli y la superficie de Fermi, que no es esférica en general  $\Rightarrow$  puede haber  $R_H > 0$
- F.  $E_F = \mu(T=0)$  en un metal  $\rightarrow$  no depende de  $k$



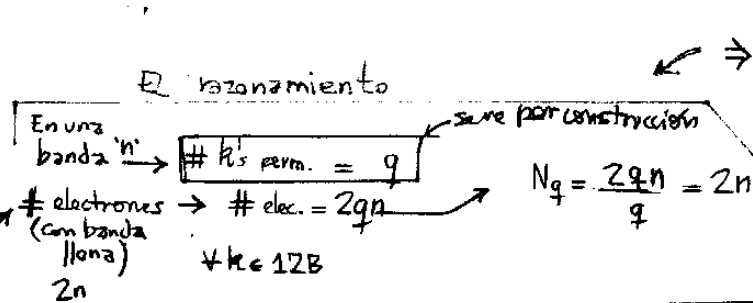
Llega a niveles desocupados con bajas excitaciones en  $\vec{k}$



No llega a niveles desocupados desde banda  $E_n$

$\rightarrow$  aislante  $\rightarrow$  si  $G \gg k_B T_{AMB}$   
 $k \rightarrow$  SC intrínseca si  $G \approx k_B T_{AMB}$

El estado fundamental de N electrones de Bloch se construye ocupando todos los niveles de 1 electrón con los #  $n, \vec{k}$  ( $1ZB$ ). En el llenado puede suceder: (A) bandas parcialmente llenas  
(B) bandas totalmente llenas o totalmente vacías



Cada banda albergará  $2n$  electrones con  $q =$  # celdas primitivas en el volumen  $V$  von Kármán

# par de electrones  $\Rightarrow$  Puedo tener conductor o aislante  
# impar de electrones  $\Rightarrow$  Siempre conductor

$$k_F = \left( \frac{3\pi^2}{a^3} N_q \right)^{1/3}$$

# de electrones por celda primitiva (caso 3D)

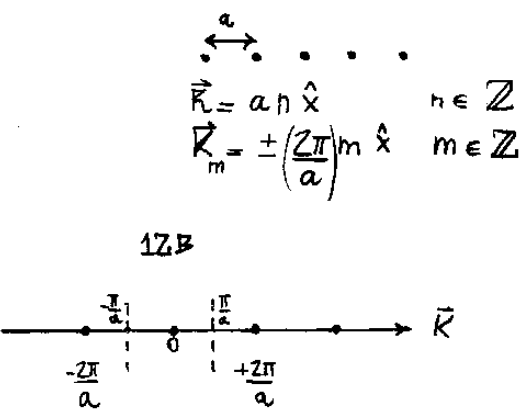
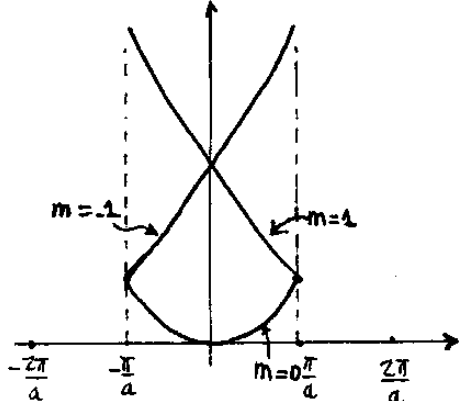
## Bandas del electrón Libre

\* En 1D se tiene:

$$E(\vec{q}) = \frac{\hbar^2 q^2}{2m}$$

$$E(k) = \frac{\hbar^2}{2m} (k - K)^2$$

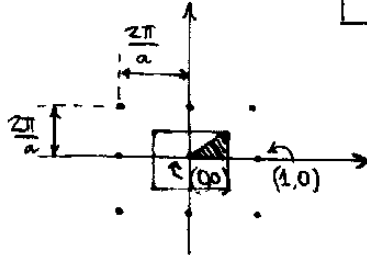
$$E(\tilde{k}) = \frac{\hbar^2}{2m} \left( \frac{2\pi}{a} \right)^2 [\tilde{k} - m]^2$$



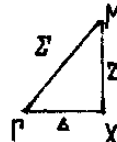
Las soluciones fuera de la 1ZB se rebaten sobre la misma

\* En 2D se tiene:

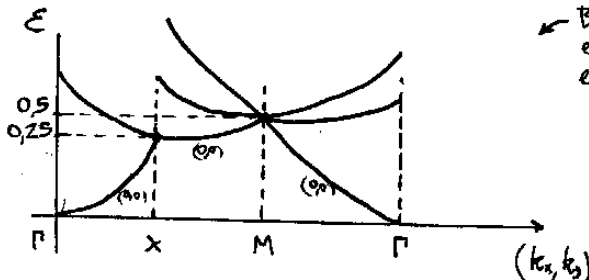
$$E = \frac{\hbar^2}{2m} [(k_x - K_x)^2 + (k_y - K_y)^2]$$



En 2D se grafican direcciones de alta simetría: se usa por convención la primera zona irreducible. Por simetría ésta zona es equivalente a las otras siete



Se evalúa para  $\vec{K}$  cercanos  
que darán los que dan los VB-  
Lados de  $E$  más bajos



Bandas de electrón libre en red cuadrada

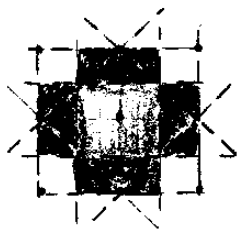
$\vec{K} \rightarrow$	(0,0)	(1,0)	en unidades de $\frac{\hbar^2}{2m} \left( \frac{2\pi}{a} \right)^2 = \tilde{E}$
$(k_x, k_y) = \Gamma = (0,0)$	0	1	
$X = (\frac{1}{2}, 0)$	$\frac{1}{4}$	$\frac{1}{4}$	
$M = (\frac{1}{2}, \frac{1}{2})$	$\frac{1}{2}$	$\frac{1}{2}$	

en unidades de  $\left( \frac{2\pi}{a} \right)^2$

1  
en unidades  
de  $\left( \frac{2\pi}{a} \right)^2$

### Zonas de Brillouin

La 1ZB se traza tomando planos bisectores entre distancias a vecinas y contando cuantos planos atraviesa para llegar a un punto: aquellos que necesitan atravesar  $n$  planos están en la zona ' $n+1$ ' de Brillouin.



■ 1ZB  
■ 2ZB  
■ 3ZB  
Todas las  
zonas tienen  
el mismo  
área



Comprimidos x 14  
Suspensión x 30 y 60 ml.



Comprimidos x 14  
Suspensión x 50 y 90 ml.



Comprimidos x 14  
Suspensión x 50 ml



Comprimidos x 16  
Suspensión x 60 ml.  
Suspensión x 90 ml.



Comprimidos x 10



Comprimidos x 6  
Suspensión x 30 y 60 ml.



Comprimidos x 10 y 20



Penicilina Benzatínica  
Ampollas de 1.200.000 U.I. x 1  
Ampollas de 2.400.000 U.I. x 1



A la vanguardia en antibióticoterapia

## Potencial Periódico Dibl

$$\Psi_k(\vec{r}) = \sum_{\vec{k}} C_{\vec{k}-\vec{K}} e^{i(\vec{k}-\vec{K}) \cdot \vec{r}} \quad [1]$$

$$\left[ \frac{\hbar^2}{2m} (\vec{k} - \vec{K})^2 - \epsilon \right] C_{\vec{k}-\vec{K}} + \sum_{\vec{K}'} U_{\vec{k}-\vec{K}} \cdot C_{\vec{k}-\vec{K}'} = 0 \quad [2]$$

Para  $\vec{k}$  fijo hay una ecuación [2] para cada  $\vec{K}$   $\Rightarrow$  Cada una de ellas es una banda 'n'

Supongamos dos niveles degenerados  $\Rightarrow$  con electrón libre

$$[\epsilon_{\vec{k}-\vec{K}_1} - \epsilon] C_{\vec{k}-\vec{K}_1} = 0 \quad \epsilon_{\vec{k}-\vec{K}_1} = \epsilon_{\vec{k}-\vec{K}_2}$$

$$[\epsilon_{\vec{k}-\vec{K}_2} - \epsilon] C_{\vec{k}-\vec{K}_2} = 0 \quad \text{con } C_{\vec{k}-\vec{K}_i} = 0 \text{ si } i \neq 1, 2$$

Ahora metemos  $U$  débil  $\Rightarrow$

$$[\epsilon_{\vec{k}-\vec{K}_1} - \epsilon] C_{\vec{k}-\vec{K}_1} + U_{\vec{k}-\vec{K}_1} \cdot C_{\vec{k}-\vec{K}_2} = 0$$

$$[\epsilon_{\vec{k}-\vec{K}_2} - \epsilon] C_{\vec{k}-\vec{K}_2} + U_{\vec{k}-\vec{K}_2} \cdot C_{\vec{k}-\vec{K}_1} = 0$$

$$\vec{k}-\vec{K}_1 \equiv \mu$$

$$\vec{k}-\vec{K}_2 \equiv \nu$$

$$\vec{k}_1 - \vec{k}_2 = \nu \mu$$

$$\epsilon_\mu = \epsilon_\nu$$

$$U_{\mu\mu} = U_{\nu\nu}$$

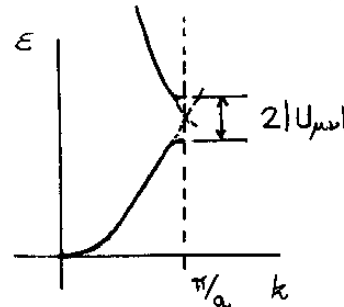
$$U_{\vec{k}-\vec{K}} = U_{00} \equiv 0$$

$$[\epsilon_\mu - \epsilon] C_\mu + U_{\mu\nu} \cdot C_\nu = 0$$

$$[\epsilon_\nu - \epsilon] C_\nu + U_{\nu\mu} \cdot C_\mu = 0$$

$$\Rightarrow \epsilon = \epsilon_\mu \pm |U_{\mu\nu}|$$

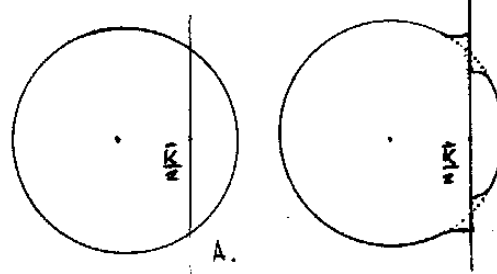
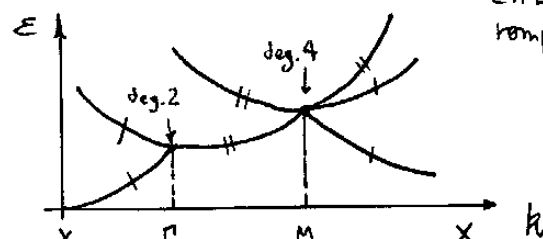
El potencial periódico débil  $U(\vec{r})$  genera un gap que rompe la degeneración cerca de los planos de Bragg



En general, en un borde de zona (plano de Bragg), con degeneración de orden 'm' resolveré un sistema de  $m \times m$ .

En 2D, por ejemplo, en la 1ZI puede darse el caso de tener varios puntos con degeneración de diverso orden.

En los casos vistos la degeneración se rompe de a dos.



La superficie de Fermi cerca del plano de Bragg se deforma  $\Rightarrow$   
El  $U(\vec{r})$  hace que ingrese normal en el borde de celda.

A. Electrón libre

## Aproximación de Uniones Fuertes [Tight Binding]

Traza el caso en que no podemos considerar a los átomos aislados, debido al overlap entre las funciones de onda electrónicas. Apropiado para aislantes ó para metales con capa 'd' semi-llena.

Pensamos el cristal como:

$$\mathcal{H} = \mathcal{H}_{\text{at}} + \Delta U(\vec{r}) \quad \text{, donde } \mathcal{H}_{\text{at}} \phi_n = E_n \phi_n$$

Buscamos preservar la solución de Bloch

$$\psi_{n\vec{k}}(\vec{r}) = \sum_{\vec{R}} e^{i\vec{k}\cdot\vec{R}} \phi_n(\vec{r}-\vec{R}) \quad ; \quad \phi_n(\vec{r}) = \sum_j b_j \phi_j(\vec{r})$$

Como los  $\phi_j(\vec{r})$  son orbitales atómicos localizados  $\Rightarrow$  este método no sirve para estados ionizados [NO SIRVE para describir niveles de electrón libre]

Suponiendo un átomo por celda y un orbital tipo s por átomo

$$\psi_{n\vec{k}}(\vec{r}) = \sum_{\vec{R}} e^{i\vec{k}\cdot\vec{R}} \phi_s(\vec{r}-\vec{R})$$

$$E = \frac{\int \psi_{n\vec{k}}^*(\vec{r}) \mathcal{H} \psi_{n\vec{k}}(\vec{r}) d\vec{r}}{\int \psi_{n\vec{k}}^*(\vec{r}) \psi_{n\vec{k}}(\vec{r}) d\vec{r}}$$

Definiendo:

$$\beta \equiv - \int d\vec{r} \Delta U |\phi_s(\vec{r})|^2 \quad \leftarrow \text{integrales de campo cristalino}$$

$$\gamma \equiv - \int d\vec{r} \phi_s^*(\vec{r}-\vec{R}) \Delta U(\vec{r}) \phi_s(\vec{r}) \quad \leftarrow \text{integrales de salto [hopping]}$$

$$S = \int d\vec{r} \phi_s^*(\vec{r}-\vec{R}) \phi_s(\vec{r}) \quad \leftarrow \text{overlap}$$

Las  $\gamma \approx 0$  pues de lo contrario no vale la aproximación, lo mismo el S

$$\epsilon = \epsilon_0^s - \frac{\beta + \sum_{\vec{R} \neq 0} \gamma(\vec{R}) e^{-i\vec{k}\cdot\vec{R}}}{1 + \sum_{\vec{R} \neq 0} S(\vec{R}) e^{-i\vec{k}\cdot\vec{R}}}$$

Tight Binding usa  
 $S \approx 0$  y  $\gamma \ll 1$

Diagrama de  
bandas  $E(\vec{k})$   
del sólido

$$\epsilon = \epsilon_0^s - \beta - \sum_{\vec{R} \neq 0} \gamma(\vec{R}) e^{-i\vec{k}\cdot\vec{R}}$$

En una siguiente aproximación:  $\sum_{\vec{R} \neq 0}$ , dado que  $\gamma(\vec{R})$  se hace muy chica más allá de los primeros vecinos.

Generalizando para más de un átomo por celda, o bien más de un orbital por celda.

$$[\epsilon_m^0 - \epsilon] b_m - \sum_n \beta_{mn} b_n - \sum_n \left[ \sum_{\vec{R} \neq 0} \gamma_{mn}(\vec{R}) e^{i\vec{k}\cdot\vec{R}} \right] b_n = 0$$

donde hemos considerado  $S_{mn} = \int \phi_m^* \phi_n = 0$ . Ahora:

Ecuación maestra

$$\beta_{mn} \equiv - \int d\vec{r} \phi_m^*(\vec{r}) \Delta U(\vec{r}) \phi_n(\vec{r})$$

$$\gamma_{mn} \equiv - \int d\vec{r} \phi_m^*(\vec{r}-\vec{R}) \Delta U(\vec{r}) \phi_n(\vec{r})$$

Tenemos una ecuación 'm' por cada tipo de átomo y las  $\sum_n$  corren por todos los tipos de átomo  $\rightarrow$  en la celda primitiva ( $\vec{R}=0$ ) ( $\rightarrow \beta_{mn}$ )  
 $\rightarrow$  en otras celdas ( $\vec{R} \neq 0$ ) ( $\rightarrow \gamma_{mn}$ )

La consideración del caso que combina más de un átomo por celda y más de un orbital necesita un subíndice 'l' extra en la ecuación maestra.

• Ejemplo

Red 1D 1 átomo por celda, interacción t a primarios vecinos.



$$\epsilon = \epsilon_s^o - 2t \cos(ka)$$

**TRIFAMOXIBL DUO**  
Amoxicilina + Sulbactam

Comprimidos x 14  
Suspensión x 30 y 60 ml.

**TRIFAMOX DUO**  
Amoxicilina

Comprimidos x 14  
Suspensión x 50 y 90 ml.

**TRIFAMOX DUO**  
Amoxicilina + Ambroxol

Comprimidos x 14  
Suspensión x 50 ml

**SEPTILISIN**  
Cefalexina Bago

Comprimidos x 16  
Suspensión x 60 ml.  
Suspensión x 90 ml.

**SEPTICIDE**  
Ciprofloxacin Bago

Comprimidos x 10

**VIXCEF**

Comprimidos x 6  
Suspensión x 30 y 60 ml.

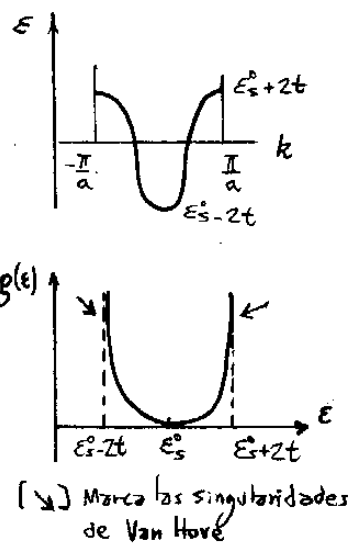
**UROSEPTAL**  
NORFLOXACINA

Comprimidos x 10 y 20

**Pen Di Ben**

Penicilina Benzatínica

Ampollas de 1.200.000 U.I. x 1  
Ampollas de 2.400.000 U.I. x 1



$$\frac{d\epsilon}{dk} = 2t \cdot \sin(ka) \cdot a$$

$$\frac{\epsilon - \epsilon_s^o}{2t} = -\cos(ka)$$

$$\left(\frac{\epsilon - \epsilon_s^o}{2t}\right)^2 = \cos^2(ka) = 1 - \sin^2(ka)$$

$$\sin(ka) = \sqrt{1 - \left(\frac{\epsilon - \epsilon_s^o}{2t}\right)^2}$$

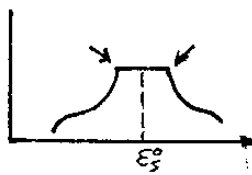
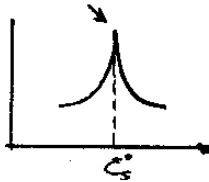
$$\frac{d\epsilon}{dk} = 2at \left[1 - \frac{(\epsilon - \epsilon_s^o)^2}{4t^2}\right]^{1/2}$$

$$\rho(\epsilon) = \frac{dn}{d\epsilon} = \frac{dn}{dk} \cdot \frac{dk}{d\epsilon} \quad \text{En 1D } n = \frac{zk}{\pi}$$

$$\rho(\epsilon) = \frac{z}{\pi} \cdot \frac{1}{2at \left(1 - \frac{(\epsilon - \epsilon_s^o)^2}{4t^2}\right)^{1/2}}$$

$\rho(\epsilon)$  tiene singularidad en  $\epsilon - \epsilon_s^o = \pm 2t$  del tipo esencial

En 2D se tienen discontinuidades logarítmicas y en el 3D tenemos discontinuidad de la derivada. Son otro tipo de singularidades de Van Hove.



Este comportamiento es consecuencia de la "irrealidad" de la interacción a primarios vecinos solamente.

**Δ Bago**

A la vanguardia en antibióticoterapia  
[www.bago.com.ar](http://www.bago.com.ar)

## ■ Dinámica de electrones

El modelo semicáscico muestra la evolución de  $\vec{r}, \vec{k}$  para un electrón en presencia de campos externos. Está basado en el conocimiento de  $E_n(\vec{R})$ . Veharemos propiedades de transporte con estructura de bandas.

$$\dot{\vec{p}} = \hbar \vec{k} = -e \vec{E} \quad \text{donde } \vec{H} = 0 \quad (\text{no hay campo magnético})$$

$$\Rightarrow \vec{k} = -e \vec{E} t \quad (\text{campo } \vec{E} \text{ uniforme})$$

$$\left( -\frac{\hbar^2}{2m} \nabla^2 + e \vec{E} \cdot \vec{r} \right) \Psi(\vec{r}, t) = i \hbar \frac{\partial}{\partial t} \Psi(\vec{r}, t)$$

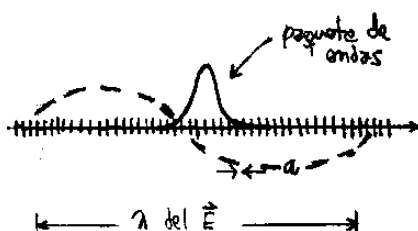
$$\text{con: } \vec{V} = \frac{1}{\hbar} \frac{\partial E_n(\vec{R})}{\partial \vec{R}}$$

$$\text{con } \Psi(\vec{r}, t) = A \cdot e^{i \vec{k}(\vec{r}, t) \cdot \vec{r} - \frac{1}{\hbar} \int_0^t E(\vec{R}(t)) \cdot dt}$$

[1]

Asociamos a cada electrón:  $n, \vec{r}, \vec{k}$ .

Para que la aproximación valga  $\vec{E}$  debe variar lentamente en la extensión del paquete de ondas



La longitud sobre la que varía el campo  $\gg$  Extensión paquete de ondas  
Extensión paquete  $\gg a$

$$\Psi = \sum_{\vec{k}} C(\vec{k}, t) \Psi(\vec{k}, \vec{r})$$

[1] es un paquete de ondas de electrones libres, donde  $\vec{r}, \vec{k}$  son posición y momento del centro del paquete. Usamos teorema de Ehrenfest  $\Rightarrow$   
Deben valer

$$\vec{V}_{\vec{k}} = \frac{1}{\hbar} \vec{\nabla}_{\vec{k}} E_n(\vec{R}) \quad [2]$$

la  $\vec{v}$  de un electrón semicáscico es la  $\vec{v}_g$  del paquete de ondas asociado

$$\vec{t} \vec{k} = \vec{F} \quad [3]$$

Las funciones de Bloch pueden escribirse como CL de funciones de Wannier

$$\Psi_{nk}(\vec{r}) = \frac{1}{N^{1/2}} \sum_{\vec{R}} e^{i \vec{k} \cdot \vec{R}} \cdot a_n(\vec{r} - \vec{R})$$

Las funciones de Wannier son transformaciones unitarias de las de Bloch. Usándolas vemos que valen [2] y [3].

Entonces:

$$\boxed{\text{Conocer las bandas} \equiv \text{Tener la dinámica del electrón}}$$

$$\vec{\nabla} = \frac{1}{\hbar} \frac{\partial E_n(\vec{R})}{\partial \vec{R}} \rightarrow \vec{V} = \frac{1}{\hbar} \frac{\partial}{\partial t} \left( \frac{\partial E_n(\vec{R})}{\partial \vec{R}} \right) = \frac{1}{\hbar} \frac{\partial^2 E_n(\vec{R})}{\partial \vec{R}^2} \cdot \frac{\partial \vec{R}}{\partial t} = -\frac{1}{\hbar} \frac{\partial^2 E_n(\vec{R})}{\partial \vec{R}^2} \cdot \left( \frac{e \vec{E}}{\hbar} \right) = \vec{a}$$

$$\Rightarrow \vec{F} = -e \vec{E} = m \vec{a}$$

$$\frac{1}{m} = \frac{1}{\hbar^2} \frac{\partial^2 E_n(\vec{R})}{\partial \vec{R}^2}$$

Las bandas renormalizan la masa del electrón

## ■ Superficie de Fermi y conductividad

Suponemos  $\vec{j} = \sigma \vec{E}$   $\vec{t} \frac{\delta \vec{k}}{T} = -e \vec{E}$  la parte difusiva

$$\vec{j} = n e \vec{v}$$

$$\delta \vec{j} = -\frac{\delta V}{(2\pi)^3} 2 e \vec{v}_F \quad \text{donde } \vec{v}_F = \text{velocidad de los electrones que conducen}$$

$$\delta \vec{j} = -\frac{1}{4\pi^3} \delta \vec{S}_F \delta \vec{k} e \vec{v}_F = \frac{e^2 T}{4\pi^3 k} (\delta \vec{S}_F \cdot \vec{E}) \vec{v}_F = \frac{e^2 T}{4\pi^3 k} \delta \vec{S}_F (\vec{v}_F \cdot \vec{E})$$

$\Rightarrow$  Con las bandas puedo hallar el  $\sigma$  (tensor de conductividad)

$$\delta V = \delta \vec{S} \cdot \delta \vec{k}$$



Comprimidos x 14  
Suspensión x 30 y 60 ml.

Los dos resultados más importantes



Comprimidos x 14  
Suspensión x 50 y 90 ml.



Comprimidos x 14  
Suspensión x 50 ml



Comprimidos x 16  
Suspensión x 60 ml.  
Suspensión x 90 ml.



Comprimidos x 10



Comprimidos x 6  
Suspensión x 30 y 60 ml.



Comprimidos x 10 y 20



Penicilina Benzatínica  
Ampollas de 1.200.000 U.I. x 1  
Ampollas de 2.400.000 U.I. x 1



A la vanguardia en antibioticoterapia  
[www.bago.com.ar](http://www.bago.com.ar)

## ■ Observaciones modelo Semidásico

Hemos considerado  $U(F)$  pequeño como para no dar lugar a saltos interbanda;  $\lambda[U(F)] \gg$  spread paquete de ondas.

Que valga Ehrenfest significa que las trayectorias de partículas siguen las trayectorias de partículas obedeciendo un M<sup>l</sup> clásico.

Metiendo las propuestas en las ecuaciones de Hamiltón:

$$\vec{U} = \frac{1}{\hbar} \nabla_{\vec{k}} E_n(\vec{k})$$

$$\hbar \vec{k} = -e \left( \vec{E} + \frac{\vec{v}}{c} \times \vec{B} \right)$$

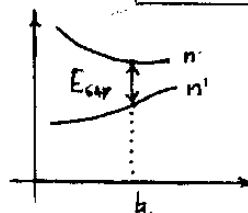
En el límite de  $U(F)=0$  el electrón es libre y en un  $\vec{E}$  uniforme adquiere una  $\epsilon$  infinita a costa de la energía electrostática  $\Rightarrow$  el modelo no sirve. Por ello el modelo semidásico prohíbe las transiciones interbanda.

También se requiere a los campos que cumplen:

$$eEa \ll \frac{[E_{GAP}(\vec{k})]^2}{E_F} \quad (1)$$

$$\hbar \omega_c \ll \frac{[E_{GAP}(\vec{k})]^2}{E_F} \quad (2)$$

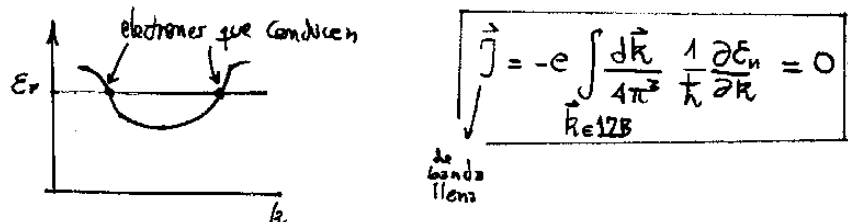
donde  $E_{GAP}(\vec{k}) \equiv E_n - E_{n'}$



(1) se cumple en metales en la generalidad de los casos

## ■ Consecuencias dinámica del electrón

Las bandas llenas son inertes. La conducción se debe a que los electrones en bandas semillenas



$$\vec{j} = -e \int_{k=12B}^{\vec{k}} \frac{d\vec{k}}{4\pi^3} \frac{1}{\hbar} \frac{\partial E_n}{\partial \vec{k}} = 0$$

Porque  $\nabla$  de  $E_n$  periódica en la 12B

Movimiento semidásico en un campo DC. Tenemos respuesta alterna: oscilaciones de Bloch

$$\hbar \vec{k} = -e \vec{E} \rightarrow \vec{k} = \vec{k}(0) - \frac{e \vec{E}}{\hbar} t \rightarrow \text{si } \vec{E} \parallel \vec{k} \Rightarrow$$

$$v(\vec{k}) \propto \nabla_{\vec{k}} E_n(\vec{k}) \quad \text{y } v(\vec{k}) \text{ está acotada por ser periódica en } \{ \vec{k} \}$$

Agujeros. Podemos expresar:

$$J = f(-e) \int_{12B}^{\vec{k}} \nabla_{\vec{k}} \vec{U}_k(\vec{k}) = 0 = \int_{\text{ocup.}} (-e) + \int_{\text{desc.}} (+e) \Rightarrow$$

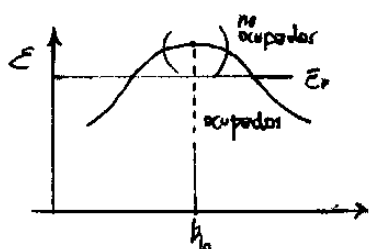
$$J = (+e) \int_{\text{desc.}} \frac{d\vec{k}}{4\pi^3} \nabla_{\vec{k}} \vec{U}_k(\vec{k})$$

La  $J$  de  $(-e)$  es como un  $J$   $(+e)$  que utiliza los niveles desocupados de la banda en lugar de los ocupados.

Evolución. Si surge de  $\vec{a} \parallel \vec{k}$  → el electrón evoluciona como una part. de carga (-)  $\vec{a} \perp \vec{k}$  → el electrón evoluciona como una part. de carga (+)

$$\vec{t}_h = (e)(\vec{E} + \frac{c}{k} \times \vec{B})$$

= opuesta Esto último sucede para niveles como el del gráfico:



Entonces  $\vec{k}_0$  es  $E(\vec{k}) \approx E(k_0) - \frac{\hbar^2}{2m^*} (\vec{k} - \vec{k}_0)^2$   $m^* > 0$

$\vec{k} \in$  nivel no ocupado

$$\vec{v} \approx \frac{1}{\hbar} \frac{\partial E}{\partial \vec{k}} (\vec{k} - \vec{k}_0) = -\frac{\hbar}{m^*} (\vec{k} - \vec{k}_0)$$

$$\vec{a} = -\frac{\hbar}{m^*} \vec{k} \Rightarrow \text{el electrón evoluciona como una part. de carga (+)}$$

Entonces el electrón cerca de  $k_0$  puede pensarse como electrón (carga -e) con masa efectiva  $(-m^*)$ ; o bien como partícula de carga +e con masa  $m^* > 0$ .

Por otra parte los holes los pensamos como de masa\* positiva responsables de la banda por sobre  $E_F$  (resultan de carga +e)

Así surge el concepto del tensor de masa efectiva:

$$[M^{-1}(\vec{k})]_{ij} = \frac{1}{\hbar^2} \frac{\partial^2 E(\vec{k})}{\partial k_i \partial k_j}$$

$\vec{k}$  cerca de un mínimo (electrones)

que determinará la dinámica de los holes cerca de los máximos de banda.

Esto da cuenta de los signos en  $R_H$  pues:

$$(\text{electrones}) \rightarrow R_H = -\frac{1}{n_{ec}} \quad R_H = \frac{1}{n_{he} c} \leftarrow (\text{holes})$$

Podemos pensar en:

$$R_H^{eff} = -\frac{1}{n_{eff} e c}$$

Con sólo  $\vec{B}$  presente la dinámica pasa a ser:

$$\vec{v}(\vec{k}) = \frac{1}{\hbar} \frac{\partial E_n(\vec{k})}{\partial \vec{k}}$$

$$\vec{k} \dot{\vec{k}} = -\frac{e}{c} \vec{v} \times \vec{B}$$

$$\frac{\hbar c}{eB} \frac{dk}{dt} = \omega$$

Hay un reescalamiento de la velocidad

## Semiconductores

El carácter de SC o resistente lo define el ancho del Gap.

- $T=0$  resistente = SC
- $T \neq 0$  es SC si:  $E_g \leq 2\text{ eV}$

A medida que aumenta  $T$  saltan electrones de la BV a BC

$$k_B T_{AMB} = 0,025 \text{ eV}$$

Un SC es un sólido resistente a  $T=0$ , tal que a  $T \neq 0$  tiene conducción apreciable.

$\rho(E)$  En un SC a medida que sube  $T$  baja  $\rho$ ; al contrario que en los conductores donde sube  $T$  y aumenta  $\rho$

Con la subida de  $T$  se excitan más electrones a conducción, pese a que aumentan las colisiones y disminuye  $T$

$$\sigma_D = \frac{n e^2 T}{m^*} \rightarrow \rho_D = \frac{m^*}{n e^2 T} \xrightarrow{\frac{1}{T}} \text{Drude no puede explicar SC.}$$

- SC intrínseco: propiedades electrónicas dominadas por electrones de BV  $\rightarrow$  BC.
- SC extrínseco: propiedades electrónicas dominadas por electrones de las impurezas (dopados)

Los elementos SC pertenecen a la col IV. Las  $E_g$ ,  $\approx T_{AMB}$ , son:

$$\begin{cases} \text{Si} & 1,12 \text{ eV} \\ \text{Ge} & 0,67 \text{ eV} \end{cases} \quad (\text{estructura diamante})$$

$$\text{C} \quad 6 \text{ eV}$$

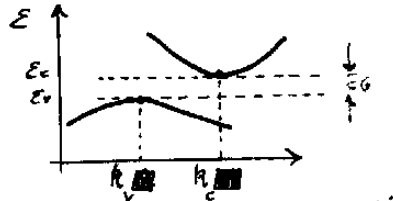
$\text{Sn}$  Tiene alguna fase de diamante

$\text{Pb}$  Ya es un metal

Hay sustancias compuestas SC formadas por elementos de las columnas III-V y II-VI (cincblenda).

Si, Ge tienen gap indirecto, que significa tener el gap componente debido a los fonones [la parte horizontal].

Consideraremos hallarse cerca del Gap para tomar  $E$  libre ( $E$ ). En realidad,



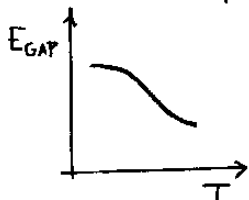
$$E(\vec{k}) = E_F + \frac{\hbar^2}{2m} \sum_{\mu\nu} k_{\mu\nu} (M^{-1})_{\mu\nu} k_{\nu}$$

, pero  $M$  se puede diagonalizar. Nos quedaremos con

$$E_{\text{ELECTR.}} = E_F + \frac{\hbar^2 / k_F^2}{2m}$$

Gap directo  $\longrightarrow$  transición: fotón  
Gap indirecto  $\longrightarrow$  transición: fotón + fonón

AL aumentar  $T$  se achica el gap



Comprimidos x 14  
Suspensión x 30 y 60 ml.



Comprimidos x 14  
Suspensión x 50 y 90 ml.



Comprimidos x 14  
Suspensión x 50 ml.



Comprimidos x 16  
Suspensión x 60 ml.  
Suspensión x 90 ml.



Comprimidos x 10



Comprimidos x 6  
Suspensión x 30 y 60 ml.



Comprimidos x 10 y 20

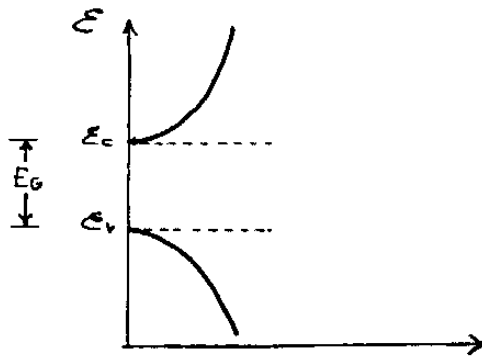
La excitación se hace con radiación EM



Penicilina Benzatínica  
Ampollas de 1.200.000 U.I. x 1  
Ampollas de 2.400.000 U.I. x 1



A la vanguardia en antibioticoterapia  
www.bago.com.br



$n_c \equiv$  densidad de electrones en BC ,  $g_c(\epsilon) \leftarrow$  densidad de estados  
 $p_v \equiv$  densidad de huecos en BV ,  $g_v(\epsilon) \leftarrow$  [e-libre]

$$\frac{N_e}{V} = \int_{-\infty}^{E_v} g_v(\epsilon) \cdot d\epsilon = \int_{-\infty}^{E_v} g_v(\epsilon) \cdot f_{FD}(\epsilon) + \int_{E_c}^{+\infty} g_c(\epsilon) \cdot f_{FD}(\epsilon)$$

$(T=0)$                            $(T \neq 0)$

Estamos suponiendo que la EGAP no depende de T

$$n_c = \int_{E_c}^{+\infty} g_c(\epsilon) \cdot f_{FD}(\epsilon) \cdot d\epsilon$$

$$p_v = \int_{-\infty}^{E_v} g_v(\epsilon) \cdot [1 - f_{FD}(\epsilon)] \cdot d\epsilon$$

Podemos hacer una aproximación

obs.

La aprox. de NO-DEGEN. hace que me halle mejor de los bordes con el EF  $\rightarrow$  ley de acción de masas

Cuando  $k_B T \ll E_G = E_c - E_v$  [Se no degenerado] . A TAMB vale pues  $\begin{cases} k_B T_{AMB} \ll E_G (\text{se}) \\ 0,025 \text{ eV} \ll 1 \text{ eV} \end{cases}$   
 En este caso:  $f_{FD} \rightarrow f_{MB}(\epsilon) = e^{-\beta(\epsilon - \mu)}$

Evaluando:

$$\begin{aligned} n_c(T) &= N_c(T) \cdot e^{-\frac{(E_c - \mu)}{\beta}} \\ p_v(T) &= P_v(T) \cdot e^{-\frac{(\mu - E_v)}{\beta}} \end{aligned} \Rightarrow n_c \cdot p_v = N_c \cdot P_v \cdot e^{-\frac{\beta(E_c - E_v)}{2}}$$

▲ Ley de Acción de Masas  
(no depende de  $\mu$ )

$$N_c, P_v = \frac{1}{4} \left( \frac{2m^* k_B T}{\pi \hbar^2} \right)^{3/2}$$

- En el caso SC intrínseco: Las impurezas NO contribuyen

$$n_c(T) \cdot p_v(T) \equiv n_i(T) \Leftrightarrow n_c(T) = p_v(T) \equiv n_i(T)$$

Los electrones que conducen sólo pueden provenir de los huecos. En este caso es fácil evaluar  $\mu_i(T)$  como:

$$\mu_i = E_v + \frac{E_G}{2} + \frac{1}{2} k_B T \ln \left( \frac{P_v}{N_c} \right)$$

$$\mu \downarrow \frac{N_c > P_v}{m^* > m^*} \quad \mu \uparrow \quad P_v > N_c$$

Con  $T=0$   $\mu(0) = E_F = E_v + \frac{E_G}{2}$  (se halla en el  $1/2$  del GAP) y como  $\ln \sim 1 \Rightarrow \mu(T)$  vive lejos de los bordes<sup>2</sup>, para  $T \neq 0$ .

SC no degenerado satisfacen casi todos los SC  $\approx T_{AMB}$ .

- En el caso SC extrínseco: las impurezas contribuyen

$$\begin{aligned} n_c - p_v &= \Delta n \\ n_c \cdot p_v &= n_i^2 \end{aligned}$$

$$n_c(T) \neq p_v(T)$$

$$\frac{\Delta n}{n_i} = 2 \sinh \left( \frac{\mu - \mu_i}{k_B T} \right)$$

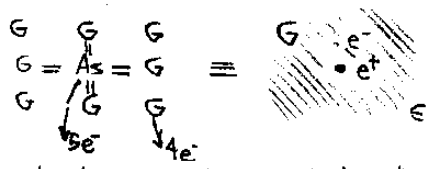
La extrínsecidad se halla en el  $\mu$

Cuando  $|\frac{\Delta n}{n_i}| \gg 1$  un tipo de portadores será dominante:

SC tipo 'n'  $\rightarrow$  electrones  
 SC tipo 'p'  $\rightarrow$  holes

## ■ Modelos de Impurezas

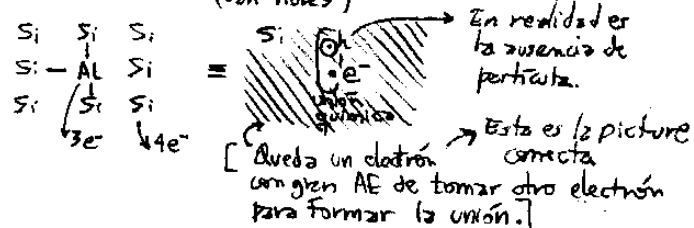
• donadoras: dan electrones a la BC



El bind es débil porque el sist.  $(e^+, e^-)$  está sumergido en un "fondo" del SC puro.

$N_d \equiv$  densidad de centros  $e^+$  (donores) en la muestra

• aceptoras: capturan electrones de BV (dan holes)



$N_A \equiv$  densidad de centros  $e^-$  (aceptores) en la muestra

Podemos hacer una extrapolación

$$\text{Radio de Bohr } a_0 = \frac{\hbar^2}{m e^2}$$

$$\text{Energía de excitación del átomo de H} R_y = -\frac{e^4 m}{2\hbar^2}$$

$$\text{si } m \rightarrow m^* \Rightarrow$$

$$e^2 \rightarrow (e/e)^2$$

$$e^2 \rightarrow e^2$$

$$a^* = \frac{e^2}{m^* e^2} = \left(\frac{m}{m^*}\right) a_0$$

$$R_y^* = -\frac{e^4 m^*}{2\hbar^2 e^2} = R_y \left(\frac{m^*}{m}\right)$$

**TRIFAMOXIBL DUO**  
Amoxicilina + Sulbactam

Comprimidos x 14  
Suspensión x 30 y 60 ml.

**TRIFAMOX DUO**  
Amoxicilina

Comprimidos x 14  
Suspensión x 50 y 90 ml.

**TRIFAMOX**  
Amoxicilina + Ambroxol

Comprimidos x 14  
Suspensión x 50 ml

**SEPTILISIN**  
Cefalexina Bago

Comprimidos x 16  
Suspensión x 60 ml.  
Suspensión x 90 ml.

**SEPTICIDE**  
Ciprofloxacina Bago

Comprimidos x 10

**VIXCEF**

Comprimidos x 6  
Suspensión x 30 y 60 ml.

**UROSEPTAL**  
NORFLOXACINA

Comprimidos x 10 y 20

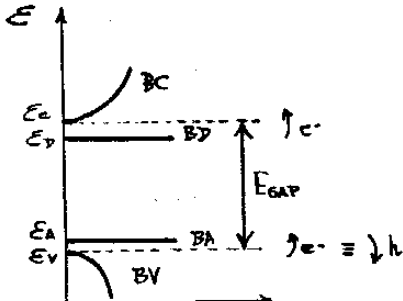
**Pen Di Ben**

Penicilina Benzatínica  
Ampollas de 1.200.000 U.I. x 1  
Ampollas de 2.400.000 U.I. x 1

**Bago**

A la vanguardia en antibioterapia  
[www.bago.com.ar](http://www.bago.com.ar)

Luego en general  $m^* \gg m \Rightarrow a^* \approx 60-200 a_0$   
 $R_y^* \approx \frac{1}{50} R_y$



La energía de Ligadura de una impureza es pequeña comparada al GAP

$$E_c - E_D \ll E_g$$

$$\sim 0,05 \text{ eV} \sim 1 \text{ eV}$$

Ante  $\Delta T \sim 0$  lo más favorable es que las impurezas manden  $e^- \rightarrow BC$  y  $h \rightarrow BV$ .

### Población de Impurezas

Respectando interacción electrónicos de diferentes impurezas

$$\langle n_d \rangle = \frac{\sum_j N_j e^{-\beta(E_j - \mu N_j)}}{\sum_j e^{-\beta(E_j - \mu N_j)}}$$

$$\langle n_d \rangle = \frac{1}{\frac{1}{2} e^{\beta(E_D - \mu)} + 1}$$

$$N_j = 0, 1\uparrow, 1\downarrow$$

$$E_j = 0, E_D, E_A$$

↑  
seionizó el electrón

$$n_d = \langle n_d \rangle N_d$$

En forma idem se llega a:

$$\langle p_a \rangle = \frac{1}{\sum_j e^{\beta(\mu - E_j)} + 1}$$

$$p_a = \langle p_a \rangle N_a$$

$$\begin{array}{c} \text{# de electrones} \\ \text{, } \uparrow \text{, } \downarrow \text{, } \uparrow \text{, } \downarrow \\ N_j = 1\uparrow, 1\downarrow, 2\downarrow \\ E_j = E_A, E_A, 2E_A \\ \uparrow \quad \uparrow \quad \uparrow \end{array}$$

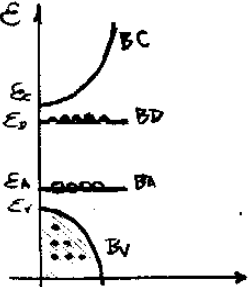
ha llegado un electrón desde fuera [se ionizó el hueco]

Aquí:

$$n = \langle n_d \rangle N$$

densidad de impurezas      # medio de partículas por centro      densidad de centros

### Equilibrio térmico



$$n_{ct} + n_{dj} = N_d - N_a + p_v + p_a$$

densidad electrónica en la BC      densidad electrónica en la BD      densidad de huecos en BV, BA

• a  $T=0 \rightarrow n_d = N_d - N_a + p_a$

Puede ser que algún electrón en BD 'caiga'  $\rightarrow$  BA.

- a  $T \neq 0$  la excitación térmica ioniza impurezas

$$\begin{cases} e^- \xrightarrow{BD} BC \\ h \xrightarrow{BA} BV \end{cases}$$

- Excitación completa  $\Rightarrow \{ N_d \gg n_d \}$

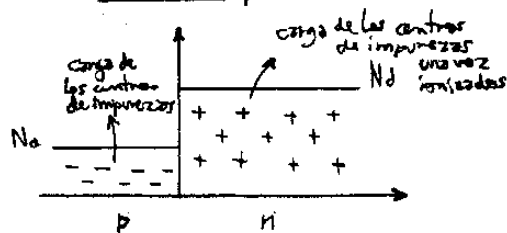
$$\Delta n = n_c - p_v \cong N_d - N_a \Rightarrow$$

$$\frac{\Delta n}{n_i} = Z \operatorname{senh} \left( \frac{\mu - \mu_i}{k_B T} \right)$$

$\frac{|\Delta n|}{n_i} \gg 1 \rightarrow N_d - N_a \gg n_i \rightarrow$  comportamiento extrínseco  $\rightarrow \begin{cases} N_d > N_a & SC \text{ tipo } n \\ N_a > N_d & SC \text{ tipo } p \end{cases}$

$\frac{|\Delta n|}{n_i} \ll 1 \rightarrow N_d - N_a \ll n_i \rightarrow$  comportamiento intrínseco

### Junturas pn

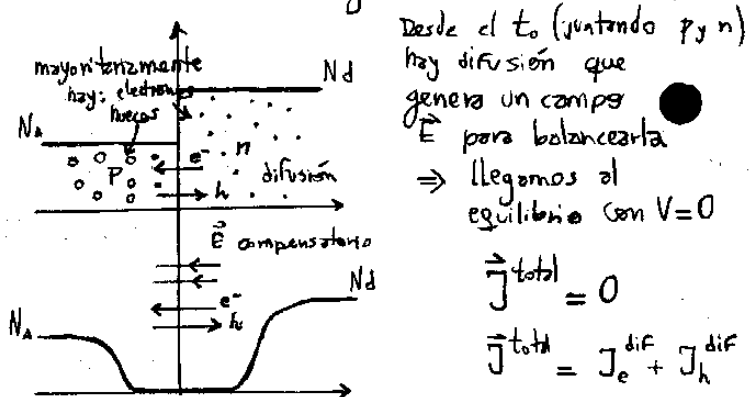
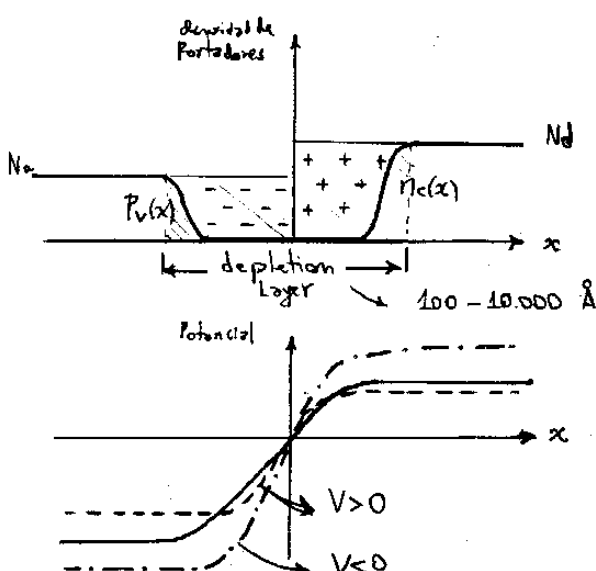


Juntura abrupta de SC diferentes. Junta en equilibrio considerando No-degeneración. Modelos semicásticos. Consideraremos SC extrínsecos en alto grado (conducción a cargo de impurezas). Lejos del depletion layer hay ionización total

$$n = -p_v \approx N_d - N_a$$

Resolvemos Poisson con los valores de las densidades.  $V(x)$  es suave

$$\frac{E_c}{E_v} = \frac{\epsilon_s}{\epsilon_n} \quad E_d = \frac{V}{d} \quad \frac{E_A}{E_v} = \frac{1}{\mu}$$



Aplicaremos un  $V \neq 0$  → se rompe el balance. Se generan corrientes

holes	electrones	Notas
$J_h^{\text{gen}} (n \rightarrow p)$ $V < 0$	$J_e^{\text{gen}} (p \rightarrow n)$ $V < 0$	Son independientes del potencial en los supuestos usados con portadores minoritarios pero con campo $E \neq 0$
$J_h^{\text{dif}} (p \rightarrow n)$	$J_e^{\text{dif}} (n \rightarrow p)$	sensibles al $V$ con mayor N° de portadores pero con campo $E$ en centro

Con  $V > 0$   
[Bias directo]



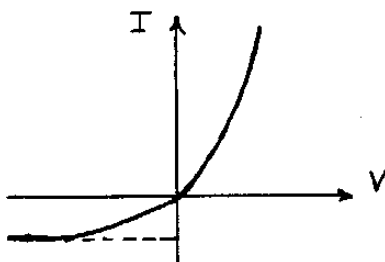
$$J_h = J_h^{\text{gen}} (e^{eV/k_B T} - 1)$$

Con  $V < 0$   
[Bias inverso]



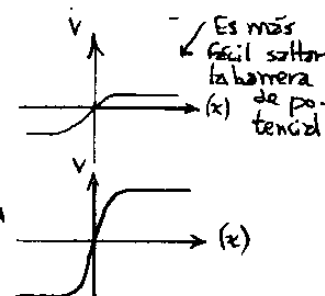
$$J_h = J_h^{\text{gen}} (e^{-eV/k_B T} - 1)$$

Para electrones las corrientes son inversas, pero dado que la carga es negativa se invierte y entonces



$$J_{\text{total}} = e (J_h^{\text{gen}} + J_e^{\text{gen}}) (e^{eV/k_B T} - 1)$$

← Esta es una situación fuera del equilibrio donde no vale "ley de acción de masas".





Comprimidos x 14  
Suspensión x 30 y 60 ml.



Comprimidos x 14  
Suspensión x 50 y 90 ml.



Comprimidos x 14  
Suspensión x 50 ml.



Comprimidos x 16  
Suspensión x 60 ml.  
Suspensión x 90 ml.



Comprimidos x 10



Comprimidos x 6  
Suspensión x 30 y 60 ml.



Comprimidos x 10 y 20



Penicilina Benzatínica  
Ampollas de 1.200.000 U.I. x 1  
Ampollas de 2.400.000 U.I. x 1



A la vanguardia en antibióticoterapia  
[www.bago.com.ar](http://www.bago.com.ar)

## Energía de Cohesión

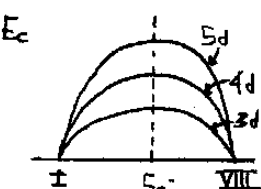
EL EM es el responsable de la cohesión del átomo. Un átomo no colapsa ni se desliga por la fuerza exclusión-electrostática. Se define:

$$\text{Cohesión} = - (E_{\text{cristal}} - E_{\text{átomo libre}})$$

Luego

$E_c > 0$	estable	gas noble	$\sim 0.01 \text{ eV/átomo}$
$E_c < 0$	inestable	metal	$\sim 1 \text{ eV/átomo}$

I	II	III	IV	V	... VIII
1.6	3.3	5	7	5	... 0.02
:	:	:	:	:	;
0.8	1.9	2	2.3	2.1	... 0.16

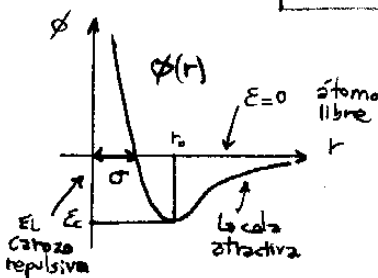


- A medida que aumenta el # de electrones totales disminuye la cohesión por el intercambio y la correlación (que son menores).
- A lo largo de una subcapa el comportamiento es parabólico

El más estable se da con  $S_{\text{max}} = \frac{5}{2}$

Los sólidos formados por gases nobles (a bajas T) no modifican su estructura electrónica en el combio y son inestables pues tienden a volatilizarse. Son los cristales moleculares: la interacción que los une es la dipolar y la que impide su colapso la repulsión core-core. Esto se modela con un potencial Lenard-Jones de pares:

$$\phi_{ij} = \frac{B}{r_{ij}^{12}} - \frac{A}{r_{ij}^6}$$



La fuerza resultante es la fuerza de Van Der Waals. Lenard-Jones es un potencial de primeros vecinos pues es de muy corto alcance: NO SIRVE PARA METALES.

Se lo modela de la forma

$$\phi_{ij}(r) = 4\epsilon \left[ \left( \frac{\sigma}{r_{ij}} \right)^{12} - \left( \frac{\sigma}{r_{ij}} \right)^6 \right]$$

$\epsilon \sim 0.01 \text{ eV}$

$\sigma \sim 3-4$

Evalué la energía por átomo sumando con todos los vecinos

$$U = \frac{U}{N} = \frac{1}{2} \sum_{R \neq 0} \phi(R)$$

con  $R$  es red de Bravais

La distancia a considerar entre los pares en términos de la  $r_{nn}$

$$r_{ij} = \alpha(R) r_{nn} \rightarrow$$

La energía por átomo será:

$$U = 2\epsilon \left[ A_{12} \left( \frac{\sigma}{r_{nn}} \right)^{12} - A_6 \left( \frac{\sigma}{r_{nn}} \right)^6 \right]$$

$$A_n = \sum_{R \neq 0} \left( \frac{1}{\alpha(R)} \right)^n$$

$A_\infty = \# \text{ 1eros vecinos}$

$$A_n = \# \text{ 1eros vec. } 1 + \# \text{ 2dos vec. } \frac{1}{d_{2v}} + \dots + \# \text{ n vec. } \frac{1}{d_{nv}}$$

Separación de 'nn' de equilibrio  
(minimiza  $U$ )

$$r_{nn}^0 = \sigma \cdot \left( \frac{2A_{12}}{A_6} \right)^{1/6}$$

$$U(r_{nn}^0) = E_c$$

$$\rightarrow U(r_{nn}^0) = -8.6 \epsilon$$

Se puede calcular el módulo de Bulk desde

$$B = -V \cdot \frac{\partial P}{\partial V} \Big|_T = n \frac{\partial^2 U}{\partial V^2} \rightarrow$$

$$B_0 = \frac{75E}{C^3}$$

### Cristales Iónicos

Siempre pensamos que la Ec es dada por la  $U_{\text{tot}}$  de partículas clásicas localizadas en sus posiciones de equilibrio. Para sustituir las iónicas las partículas son iones cargados y la parte atractiva es  $\propto \frac{1}{r}$ , que tiene mucha mayor alcance.

$$U(r) = U^{\text{Coulomb}}(r) + U^{\text{Coulomb}}(r)$$

Tendremos iones de varios tipos. El potencial de Coulomb lucirá:

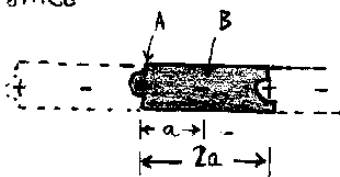
$$U^{\text{Coulomb}}(r_{nn}) = -\frac{e^2}{r_{nn}} \left\{ \frac{1}{\alpha(\vec{R})} + \sum_{\vec{R} \neq 0} \left( \frac{1}{\alpha(\vec{R}+\vec{d})} - \frac{1}{\alpha(\vec{R})} \right) \right\} = -\alpha_M \frac{e^2}{r_{nn}}$$

↓ iones B en la celda central      ↓ otras celdas      ↓ todos los iones A      ↓ todos los iones A  
 $|\vec{R}| = \alpha(\vec{R}) r_{nn}$       iones del tipo A      iones del tipo B

$$|\vec{R}+\vec{d}| = \alpha(\vec{R}+\vec{d}) r_{nn}$$

$\alpha_M$  es la constante de Madelung.  $E_c(\text{Na}^+ \text{Cl}^-) = 7,9 \text{ eV}$

- Ejemplo  
Red 1D iónica



$$-\frac{e^2}{a} \left\{ 1 + \left( \frac{1}{3} + \frac{1}{5} + \frac{1}{7} + \dots + \frac{1}{1} + \frac{1}{3} + \frac{1}{5} + \frac{1}{7} + \dots - \frac{1}{2} - \frac{1}{2} - \frac{1}{4} - \frac{1}{4} - \dots \right) \right\}$$

$$\left\{ 1 + \left( 1 + 2 \left[ \frac{1}{3} + \frac{1}{5} + \dots \right] - 2 \left[ \frac{1}{2} + \frac{1}{4} + \dots \right] \right) \right\}$$

$$2 \left\{ 1 - \frac{1}{2} + \frac{1}{3} - \frac{1}{4} + \frac{1}{5} - \dots \right\}$$

$$U^{\text{Coulomb}} = -\frac{e^2}{a} 2 \cdot \ln(2)$$

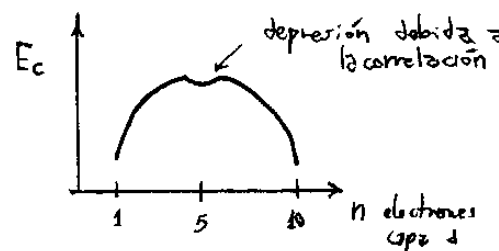
### Cohesión referente al llenado

La energía de cohesión en la capa 'd' sigue un esquema que deviene en el gráfico siguiente.

Con  $\delta=2$  (capa 'd') es

$$\begin{array}{ccccccc} \ell & 2 & 1 & 0 & -1 & -2 \end{array}$$

llenar de a uno ↑ ↑ ↑ ↑ ↑ ascenso ↗  
 ↓ ↓ ↓ ↓ ↓ ↓ descenso ↘



Al ir disminuyendo el intercambio baja la Ec.  
 El intercambio hace más estable al sistema

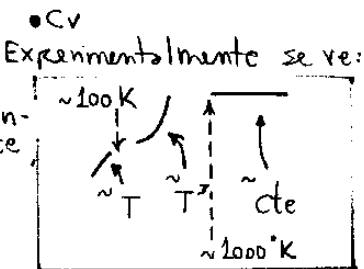
## ■ Fallar del Modelo de red estática

Hay cosas que siguen fallando, pese a que hemos abandonado el electrón libre. Se debe a que despreciamos los grados de libertad de la red.



Comprimidos x 14  
Suspensión x 30 y 60 ml.

Experimentalmente:

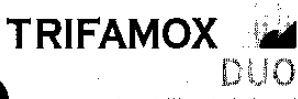


Sin embargo sólo obtuvimos  $Cv \propto T$   
(contribuciones electrónicas)

En aistantes  $Cv \propto T^2$  ( $\nparallel T \propto 0$ ) [no hay contrib. lineal con  $T \propto 0$  de los electrones]



Comprimidos x 14  
Suspensión x 50 y 90 ml.



Comprimidos x 14  
Suspensión x 50 ml



Comprimidos x 16  
Suspensión x 60 ml.  
Suspensión x 90 ml.



Comprimidos x 10



Comprimidos x 6 y 10  
Suspensión x 30 y 60 ml.



Comprimidos x 10 y 20



Penicilina Benzatínica  
Ampollas de 1.200.000 U.I. x 1  
Ampollas de 2.400.000 U.I. x 1



$V_{dec} \gg V_{núcleos}$

A cada momento para los nucleos, los electrones se hallan en su ground state.

- Vibraciones punto-0

Deben ser tenidas en cuenta para el cálculo de Ec

- Expansión térmica

Esto depende de las vibraciones de los iones

- Fundición de los sólidos

Con T muy alta los iones se disgregan. Hasta ahora la fundición de T era solo excitar electrones a través del gap.

- Ley de Wiedemann-Franz

A temperaturas intermedias falla.  $\alpha_e / \sigma T$  depende de T (debería ser constante)

- Dependencia de T con T

Solo puede explicarse:  $\left\{ \begin{array}{l} \rho \propto T^5 \quad (T \propto 0) \\ \rho \propto T \quad (T \gg 1) \end{array} \right\}$  tomando en cuenta la vibración de los iones.

- Superconductividad

Debajo de  $T_c$  la  $\rho \rightarrow 0$  en ciertos metales. Es una consecuencia de la interacción fonones-electrones.

- Conducción térmica en aistantes

No hay mecanismo de conducción de calor disponible para aistantes; la red debe moverse.

- Transmisión de Sonido

Los aistantes transmiten asimismo el sonido en forma de ondas vibracionales en la red de iones.

- Scattering de rayos X

No se concide con el experimento: las vibraciones térmicas disminuyen los picos. También es necesario corregir en el scattering de neutrones.

## ■ Dinámica de Redes: Planteo

Se usa una aproximación adiabática: Born-Oppenheimer.

$$H = - \sum_k \frac{\hbar^2}{2M} \frac{\partial^2}{\partial U_k^2} - \sum_i \frac{\hbar^2}{2m} \frac{\partial^2}{\partial r_i^2} + \sum_{i,j} \frac{e^2}{4\pi \epsilon_0 |\vec{r}_i - \vec{r}_j|} + V(u, r) + G(u)$$

Cinturón electron-electrón      Cinturón ión-ión

con  $\frac{\partial r}{\partial U} = \Psi(r, u) \phi(u)$  ← solución separable propuesta

Metiendo la solución se llega a:

$$-\frac{\partial}{\partial u} \left[ - \sum_k \frac{\hbar^2}{2M} \frac{\partial^2}{\partial U_k^2} + G(u) + V(u, r) \right] \phi - \left\{ \sum_k \frac{\hbar^2}{2M} \left( \frac{\partial \phi}{\partial U_k} \frac{\partial^2 \Psi}{\partial U_k^2} \right)^2 + \sum_i \frac{\hbar^2}{2m} \phi \cdot \frac{\partial^2 \Psi}{\partial r_i^2} \right\} = E_0 (\phi \Psi)$$

término adiabático

Usando que los electrones están fuertemente ligados y:  $\Psi(\vec{U}, \vec{r}) = \Psi(\vec{r} - \vec{U}, \vec{U})$  [esto no va a funcionar bien para metales] se tiene:

$$\frac{\partial \Psi}{\partial U_e} = -\frac{\partial \Psi}{\partial U_i} \Rightarrow \text{los términos no adiabáticos se pueden escribir}$$

$$-\sum_i \overbrace{\frac{\hbar^2}{M} \left( \frac{\partial \phi}{\partial U_i} \frac{\partial \Psi}{\partial r_i} \right)}^A - \sum_i \overbrace{\frac{\hbar^2}{Zm} \phi \frac{\partial^2 \Psi}{\partial U_i^2}}^B$$

Examinando la contribución a la energía de estos términos

$$\int \Psi^* A d\vec{r} d\vec{u}, \int \Psi^* B d\vec{r} d\vec{u}$$

veemos que puede despreciarse amparados en:  $\bullet \frac{m}{M}$  chico,  $\bullet \int \phi^* \phi d\vec{u}$  chico

Además pensamos: # electrones  $\gg$  # núcleos

Resulta en el hamiltoniano nuclear:

los núcleos son  
muchos más masivos

$$\mathcal{H}(\phi \Psi) = \mathcal{H} \Psi \Rightarrow \left\{ -\sum_i \frac{\hbar^2}{ZM} [\nabla_i^2] + G(U_i) + \epsilon(\bar{U}_e) \right\} \phi(\bar{U}) = E_0 \phi(\bar{U})$$

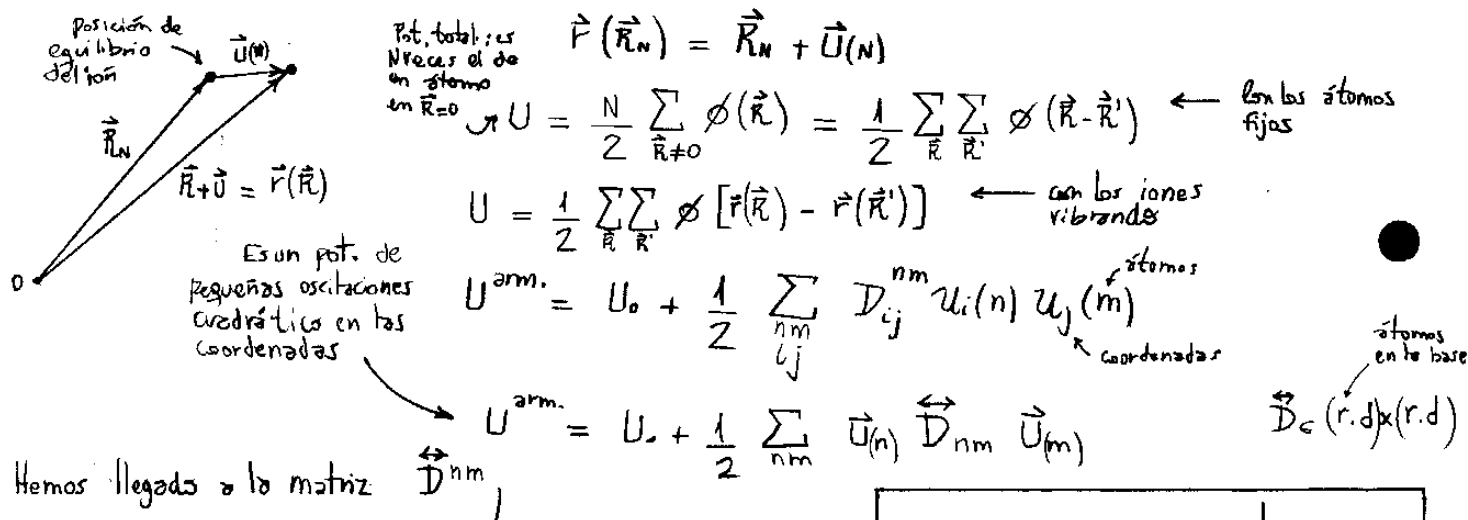
La  $\Psi(r, U)$  es la solución del problema electrónico que tiene a  $U$  como parámetro.

Contribución  $\rightarrow G(r) + V(u, r)$   
adiabática de los electrones

## Dinámica de Redes: Solución Armónica

- En no-metálicos vale la aprox. adiabática
- En sistemas cristalinos vale el teorema de Bloch
- Los  $\{\vec{R}\}$  son las posiciones de equilibrio de los iones
- Los iones vibran con baja amplitud respecto a sus posiciones de equilibrio

Usamos aproximación armónica del potencial (me paro en el equilibrio y me quedo a orden 2)



Hemos llegado a la matriz  $\overset{\leftrightarrow}{D}^{nm}$

### Características

- $D_{ij}^{nm} = D_{ji}^{mn}$  derivadas cruzadas iguales

- Es función de la distancia entre sitios (por ser potencial de pares)

- Simetria trastorsional del potencial

$$\sum_n \overset{\leftrightarrow}{D}^{nm} = 0$$

- Simetria de inversión en la red de Bravais  $D_{ij}^{nn} = D_{ij}^{oo}$

$$\text{con } D_{ij}^{nn} = \frac{\partial^2 U}{\partial r_i(n) \partial r_j(n)}$$

$U_i(n) = 0$   
 $U_j(m) = 0$

$$-D_{ij}^{nm} U_j(n) = \begin{cases} \text{contribución a la fuerza sobre la coordenada 'i' del átomo en } \vec{R}_n \\ \text{debida al átomo } \vec{R}_m \text{ según desplazamiento 'j' de este último.} \end{cases}$$

Luego se plantean las ecuaciones de movimiento como:

$$M_i \ddot{\vec{U}}_i(n) = - \frac{\partial U^{\text{Arm}}}{\partial \vec{U}_i(n)}$$

$$M_i \ddot{\vec{U}}_i(n) = - \sum_m \overset{\leftrightarrow}{D}^o_{n-m} \vec{U}_i(m)$$

Planteamos  $U^{\text{Arm}}$   $\Rightarrow$  Aplica Newton  
 $\Rightarrow$  obtengo  $\omega$  de pequeñas  
oscilaciones  $\Rightarrow \omega = \omega(k)$   
Relación de dispersión

Comprimidos x 14

Suspensión x 30 y 60 ml.



**TRIFAMOXIBL**  
Amoxicilina + Sulbactam

ELIXIR



**TRIFAMOX**

Amoxicilina

Comprimidos x 14

Suspensión x 50 y 90 ml.

**TRIFAMOX DUO**  
Amoxicilina + Ambroxol

Comprimidos x 14

Suspensión x 50 ml

**SEPTILISIN**  
Cefalosporina Bago

Comprimidos x 16

Suspensión x 60 ml.

Suspensión x 90 ml.

**SEPTICIDE**  
Ciprofloxacin Bago

Comprimidos x 10

NOTA  
En la práctica los coeficientes  
 $D_{ij}^{on}$  se evalúan como:

$$D_{ij}^{on} = -2e^{on} \epsilon_i^{on} \epsilon_j^{on}$$

donde:

$$\overset{\leftrightarrow}{D}(\vec{q}) = \sum_m \overset{\leftrightarrow}{D}(\vec{R}_m) e^{-i\vec{q} \cdot \vec{R}_m}$$

es la matriz dinámica

**VIXCEF**

Comprimidos x 6 y 10

Suspensión x 30 y 60 ml.

**UROSEPTAL**  
NORFLOXACINA

Comprimidos x 10 y 20

**Pen Di Ben**

Penicilina Benzatínica

Ampollas de 1.200.000 U.I. x 1

Ampollas de 2.400.000 U.I. x 1

Habrá una ecuación por cada tipo de átomo, que se spliteará en 'd' dimensiones. Tendré  $N_k$ -vectores del sistema permitidos. Cada uno dará 3 m.n en 3D

$\vec{k} \rightarrow$  Longitudinal (asociado a  $\hat{k}$ ) ; transversales (asociados a  $\hat{k}' \perp \hat{k}$ )

Buscar soluciones en forma de ondas planas :

$$\vec{U}(n,t) = \vec{U}_0 e^{i(\vec{q} \cdot \vec{R}_n - \omega t)}$$

$$M \omega^2 \vec{U}_0 = \sum_m \overset{\leftrightarrow}{D}^o_{n-m} e^{-i\vec{q} \cdot \vec{R}_m} \vec{U}_0$$

$$M \omega^2 \vec{U}_0 = \overset{\leftrightarrow}{D}(\vec{q}) \vec{U}_0$$

$$[M \omega^2 I - \overset{\leftrightarrow}{D}(\vec{q})] \vec{U}_0 = 0$$

donde:

$$\overset{\leftrightarrow}{D}(\vec{q}) = \sum_m \overset{\leftrightarrow}{D}(\vec{R}_m) e^{-i\vec{q} \cdot \vec{R}_m}$$

Como vale inversión en red Bravais y simetría translacional :

$$\overset{\leftrightarrow}{D}(\vec{R}) = \overset{\leftrightarrow}{D}(-\vec{R}) \quad y \quad \sum_k \overset{\leftrightarrow}{D}(\vec{R}) = 0 \Rightarrow$$

$$\overset{\leftrightarrow}{D}(\vec{k}) = \frac{1}{2} \sum_m \overset{\leftrightarrow}{D}(\vec{R}_m) \left( e^{i\vec{k} \cdot \vec{R}_m} + e^{-i\vec{k} \cdot \vec{R}_m} - 2 \right)$$

$$= \sum_m \overset{\leftrightarrow}{D}(\vec{R}_m) [\cos(\vec{k} \cdot \vec{R}_m) - 1]$$

$$\overset{\leftrightarrow}{D}(\vec{k}) = -2 \sum_m \overset{\leftrightarrow}{D}(\vec{R}_m) \cdot \cos^2\left(\frac{\vec{k} \cdot \vec{R}_m}{2}\right) \rightarrow \overset{\leftrightarrow}{D}(\vec{k}) \in \mathbb{R}$$

$\overset{\leftrightarrow}{D}(\vec{k})$  tiene autovalores reales y en 3D satisfacen [lineal algebra] es simétrica

$$\overset{\leftrightarrow}{D}(\vec{k}) \vec{U}_0 = \lambda_s \vec{U}_0 \quad \text{con} \quad \omega_s(\vec{k}) = \sqrt{\frac{\lambda_s}{M}}$$

con  $|\vec{k}| \ll 1 \rightarrow$

no depende de  $k$

$$\overset{\leftrightarrow}{D}(\vec{k}) = -\frac{k^2}{2} \sum_m \overbrace{\overset{\leftrightarrow}{D}(\vec{R}_m)}^{} (\hat{k} \cdot \vec{R}_m)^2 \Rightarrow \omega_s = c_s \cdot k$$

La  $\omega(k)$  es lineal con  $|\vec{k}| \ll 1$ . Estas son las llamadas modas acústicas.

**Δ Bago**  
A la vanguardia en antibioticoterapia  
www.bago.com.ar

$$\Rightarrow k = \frac{m_e \omega_0}{M} + \frac{e^2 k_B}{N_e} + \frac{N_e \omega_0}{M}$$

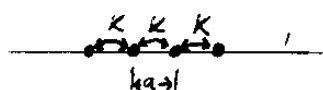
$$k = \frac{m_e \omega_0}{M} + \frac{e^2 k_B}{N_e} + \frac{N_e \omega_0}{M}$$

Se plantea el  $U^{arm.} = \frac{1}{Z} \sum_{n,m} \frac{\partial^2 \phi}{\partial r_n \partial r_m} u_n u_m$

$$M\omega^2 = -\frac{\partial}{\partial(r_n)} U^{arm.}(u(r_n))$$

### Caso 1D: 1 átomo en base

Cadena 1D interacción a 1er vecinos ( $K$ )



$$U^{arm.} = \frac{1}{Z} \sum_n K (U[na] - U[(n-1)a])^2$$

$$M\ddot{u}(na) = -\frac{\partial U^{arm.}}{\partial(na)} = -K \left\{ (U[na] - U[(n-1)a]) + (U[(n+1)a] - U[na]) \right\}$$

$$u = u_0 e^{i(\vec{k} \cdot \vec{R} - \omega t)} \rightarrow \text{solución onda plana}$$

$$\ddot{u} = u_0 \omega^2 e^{i(\vec{k} \cdot \vec{R} - \omega t)}$$

$$M u_0 \omega^2 e^{ikna} = -K \left\{ u_0 (e^{ikna} - e^{-ikna}) + u_0 (e^{ikna} e^{ika} - e^{-ikna}) \right\}$$

$$Mu_0 \omega^2 = -u_0 K \left\{ e^{-ika} + e^{ika} + 2 \right\}$$

$$M\omega^2 = -ZK [\cos(ka) - 1]$$

$$\omega^2 = Z(K/M) Z \cdot \operatorname{sen}^2\left(\frac{ka}{2}\right)$$

$$\boxed{\omega = Z \sqrt{\frac{K}{M}} \cdot \operatorname{sen}\left(\frac{ka}{2}\right)}$$

$$\text{con } |k| \ll 1 \text{ es: } \omega = Z \sqrt{\frac{K}{M}} \left(\frac{ka}{2}\right)$$

$$k=0 \Rightarrow \omega=0$$

$$U(na) = u([n+1]a) \longrightarrow \text{Todos los átomos en fase}$$

$$k=\frac{\pi}{a} \Rightarrow \omega = 2\sqrt{\frac{K}{M}}$$

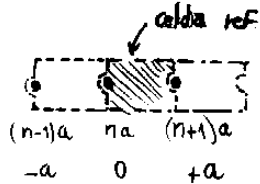
$$U(na) = -u([n+1]a) \longrightarrow \text{en contrafase}$$

$$\overleftrightarrow{D}(\vec{k}) = \overleftrightarrow{D}^{00} e^{-ika} + \overleftrightarrow{D}^{0-1} e^{-i(k-a)} + \overleftrightarrow{D}^{01} e^{-ika} = 2K \cdot 1 - K e^{ika} - K e^{-ika}$$

$$\overleftrightarrow{D}(\vec{k}) = -2K [\cos(ka) - 1]$$

$$\overleftrightarrow{D}^{00} + \overleftrightarrow{D}^{0-1} + \overleftrightarrow{D}^{01} = 0$$

$$\boxed{\overleftrightarrow{D}(\vec{k}) = 4K \cdot \operatorname{sen}^2\left(\frac{ka}{2}\right)}$$



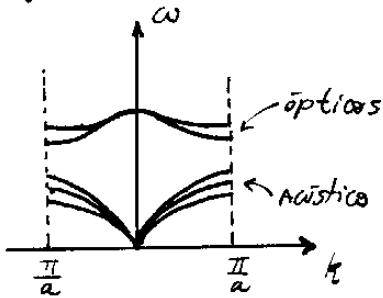
Tengo que incluir tantos  $\overleftrightarrow{D}^{on}$  como vecinos ' $n$ ' interactúen con el átomo '0'.

En 2D puede ser más fácil resolver directamente con la matriz dinámica.

Los modos acústicos serán aquellos tales que:

$$\omega_{acústico} \ll \omega_{óptica}$$

En general tendremos la situación de la figura.



Habrá 'd' ramas acústicas.

Tendrá "N.r.d" modos normales. Habrá 'd.r-d' ramas ópticas.

Ramas acústicas → asociadas a mov. en fase de todas las celdas.

Ramas ópticas → asociadas a vibraciones dentro de la celda.

Se puede generalizar el método de la matriz dinámica para llegar a:

$$M_{\mu i i i} (n, \mu, t) = - \sum_m D_{i j}^{n \mu} u_j (m, \omega)$$



Comprimidos x 14  
Suspensión x 50 y 90 ml.

$$\left| M_{\mu}^{-1/2} M_{\nu}^{-1/2} D_{ij}^{\mu\nu} (\vec{q}) - \omega^2 \delta_{ij} \delta_{\mu\nu} \right| = 0$$

■ Color Específico de un cristal: Ley de Dulong y Petit

$$\epsilon = \frac{1}{V} \frac{\int d\Gamma \cdot H e^{\beta H}}{\int d\Gamma e^{\beta H}} \rightarrow \epsilon = \epsilon_0 + 3n k_B T$$

$$C_V = \frac{\partial \epsilon}{\partial T} = 3n k_B \quad \leftarrow \text{Ley de Dulong \& Petit}$$

Donde  $M_l$  es el hamiltoniano clásico en función de momentos y coordenadas

Dado que los iones se mueven evaluamos  $\epsilon$  como el  $\langle E \rangle / V$ . Este es un cálculo clásico y obtenemos el valor constante  $3n k_B$  que discrepa fuertemente del experimento a toda  $T$ .

Es el  $C_V$  debido a las vibraciones iónicas, y el  $C_V$  total para un aislante [que no tiene  $C_V$  electrónico]

Incluso con  $T$  grande es evidente que el valor  $3n k_B$  no ajusta el experimental. Esto puede explicarse en parte como falta de la aproximación armónica [efecto de las anormalidades]. Sin embargo el comportamiento en  $T \rightarrow 0$  requiere una teoría de la dinámica de la red basada en QM.

Clásicamente un sistema de  $N$  partículas en pequeñas oscilaciones es una CL de  $3N$  m.m. con sus  $\omega_i$ . Científicamente un oscilador tiene energías permitidas según:

$$\epsilon = \left( n + \frac{1}{2} \right) \hbar \omega \quad n = 0, 1, 2, \dots$$

Para  $3N$  osciladores (indeptes.) la energía será la suma de las  $\epsilon$  individuales

**Pen Di Ben**  
Penicilina Benzatínica  
Ampollas de 1.200.000 U.I. x 1  
Ampollas de 2.400.000 U.I. x 1

**Bago**  
A la vanguardia en antibioticoterapia  
[www.bago.com.ar](http://www.bago.com.ar)

## ■ Teoría Cuántica del cristal armónico

Tratando cuánticamente al cristal debemos reemplazar la integral en el espacio de fases  $\Gamma$  por la sumatoria de los estados estacionarios del cristal con energía  $E_i$ .

$$\epsilon = \frac{1}{V} \cdot \frac{\sum_i E_i e^{-\beta E_i}}{\sum_i e^{-\beta E_i}} \quad [1]$$

Consideramos al cristal como 'N.r.d' osciladores independientes con frecuencias dadas por los m.n. clásicos. Proporcionales como solución c.l. del H clásico (c.l. de ondas planas) termino con 'N.r.d' ecuaciones de oscilador armónico.

⇒ Tengo un gas de bosones (osc. arm. indeptos)

Entonces un m.n. particular contribuye a la energía con

$$E_{j\vec{q}} = \hbar \omega_j(\vec{q}) \left[ n_j(\vec{q}) + \frac{1}{2} \right]$$

donde  $n_j(\vec{q})$  es el # de excitación del modo normal. Luego

$$[2] \quad E_i = \sum_{j=1}^{r.d. N} \sum_{\vec{q}} \hbar \omega_j(\vec{q}) \left[ n_j(\vec{q}) + \frac{1}{2} \right]$$

← Estado energético "i-ésimo" del cristal de N-iones

Energía de la rama "j-ésima"

$n_j(\vec{q})$  es el # de fonones: el cuento de excitación del modo normal, o el modo mismo. Evaluando  $\epsilon$  según [1] con  $E_i$  de [2] se ve que:

$$n_j(\vec{q}) = \frac{1}{e^{\beta \hbar \omega_j(\vec{q})} - 1}$$

# de excitación medio del m.n.; ó  
# de fonones presentes a dada T

$$E_i = \sum_{j\vec{q}} \left[ \frac{1}{e^{\beta \hbar \omega_j(\vec{q})} - 1} + \frac{1}{2} \right] \hbar \omega_j(\vec{q})$$

$$E_i = \frac{1}{2} \sum_{j\vec{q}} \hbar \omega_j(\vec{q}) + \sum_{j\vec{q}} \left( \frac{\hbar \omega_j(\vec{q})}{e^{\beta \hbar \omega_j(\vec{q})} - 1} \right)$$

$$\epsilon = \frac{1}{V} \sum_{j\vec{q}} \frac{1}{2} \hbar \omega_j(\vec{q}) + \epsilon_0 \quad \text{Ahora tenemos a } T=0 \text{ } \underline{\epsilon} \text{ del punto cero (además de } \epsilon_0 \text{) debido a los iones}$$

$$\frac{\partial \epsilon}{\partial T} = C_V = \frac{1}{V} \sum_{j\vec{q}} \frac{\partial}{\partial T} \left( \frac{\hbar \omega_j(\vec{q})}{e^{\beta \hbar \omega_j(\vec{q})} - 1} \right)$$

Ahora se tendrán:

- Altas T →  $\beta \hbar \omega \ll 1 \Rightarrow \frac{1}{e^x - 1} \stackrel{x \text{ chico}}{\approx} \frac{1}{x} \left[ 1 - \frac{x}{2} \right] \Rightarrow C_V \approx \frac{1}{V} \sum_{j\vec{q}} k_B T \approx \frac{N.r.d k_B}{V}$

observación  
→  $\sum_{j\vec{q}} = N.r.d$

$$C_V \approx d n r k_B$$

Recuperamos el comportamiento clásico en red monatomica en 3D

- Bajas T →  $\beta \hbar \omega \gg 1 \Rightarrow \sum_{j\vec{q}} \rightarrow \int_{12B} \frac{d\vec{q}}{(2\pi)^3}$

Los  $\vec{q}$  se vuelven densos en la escala donde los sumandos varían

$$\epsilon = \frac{k_B T}{(\hbar \omega)^2} \frac{3}{2\pi^2} \int_0^\infty \frac{x^3}{e^x - 1} dx$$

Mediente paso a esféricas y cambio de variables llegó a

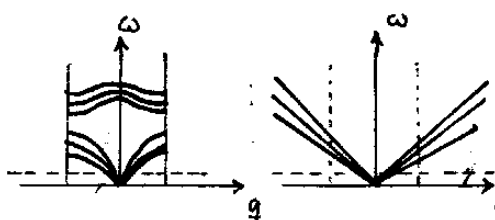
Hemos simplificado la evaluación de la integral en  $C_V$  desde:

$$C_V = \frac{\partial}{\partial T} \left( \sum_j \int_{-\infty}^{\infty} \frac{d\omega_j(\vec{q})}{(2\pi)^3} \frac{\hbar\omega_j(\vec{q})}{e^{\beta\hbar\omega_j(\vec{q})} - 1} \right) \quad [1]$$

⇒ 1z:

$$C_V = \frac{2}{\beta T} \left( \frac{(k_B T)^3}{(2\pi c)^3 2\pi^2} \int_0^\infty \frac{x^3}{e^x - 1} dx \right)$$

implicadas en:



- Integraremos en todo  $\vec{q}$ , no solamente en la 1ZB
- Reemplazamos todos los modos por una frecuencia lineal; ignoramos las ramas ópticas
- En la zona donde el  $\omega$  es grande ( $\vec{q} \approx 0$ ) se tiene  $\omega$  lineal

### TRIFAMOXIBL DUO

Amoxicilina + Sulbactam

Comprimidos x 14

Suspensión x 30 y 60 ml.

### TRIFAMOX DUO

Amoxicilina

Comprimidos x 14

Suspensión x 50 y 90 ml.

### TRIFAMOX DUO

Amoxicilina + Ambroxol

Comprimidos x 14

Suspensión x 50 ml

### SEPTILISIN

Cefalexina Bagó

Comprimidos x 16

Suspensión x 60 ml.

Suspensión x 90 ml.

### SEPTICIDE

Ciprofloxacinha Bagó

Comprimidos x 10

### VIXCEF

Comprimidos x 6

Suspensión x 30 y 60 ml.

### UROSEPTAL

NORFLOXACINA

Comprimidos x 10 y 20

### Pen Di Ben

Penicilina Benzatínica

Ampollas de 1.200.000 U.I. x 1

Ampollas de 2.400.000 U.I. x 1

### Bagó

A la vanguardia en antibióticoterapia

[www.bago.com.ar](http://www.bago.com.ar)

Resulta:

$$C_V \approx \frac{2\pi^2}{5} k_B \left( \frac{\hbar\beta T}{2\pi c} \right)^3$$

con  $\omega = C.q$

Esto da el comportamiento correcto con  $T \rightarrow 0$ . Sin embargo, en regiones de  $T$  intermedia deberíamos trabajar con la expresión completa [1]

### Temperaturas Intermedias: Modelos de Einstein-Debye

#### • Modelo de Debye

El Modelo de Debye reemplaza todas las ramas por:

$$\omega = C.q$$

y la integral en [1] sobre la 1ZB se hace sobre una esfera de radio  $q_D$ : contiene  $N$  vectores  $\vec{q}$

$$n = \frac{q_D^3}{6\pi^2} \rightarrow \text{Defino un } q_D \text{ en analogía al } k_F \text{ tal que los m.h. están ocupados}$$

$$C_V = \frac{\partial}{\partial T} \left( \frac{5\hbar c}{2\pi^2} \int_0^{q_D} \frac{q^3 dq}{e^{\beta\hbar\omega q} - 1} \right)$$

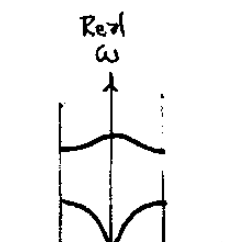
$$C_V \propto T^3$$

en la práctica se suele llevar esta integral a  $\infty$  por el exceso peso del integrando con  $q$  grande.

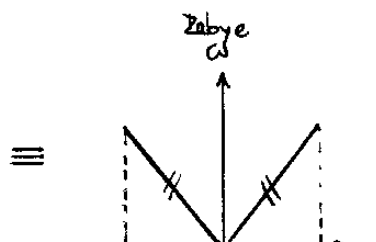
Hemos representado las ramas ópticas por los valores altos de  $q$  en  $\omega = C.q$

#### • Modelo de Einstein

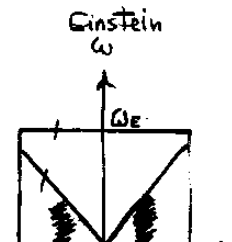
Un esquema alternativo es usar  $\omega = C.q$  para las ramas acústicas y tomar una  $\omega_E = \text{cte.}$  para cada rama óptica. Este es la aproximación de Einstein. Habrá una contribución extra al  $C_V$  dada por:



↑ Sistema con una rama acústica y una óptica



↑ Todas las ramas son lineales



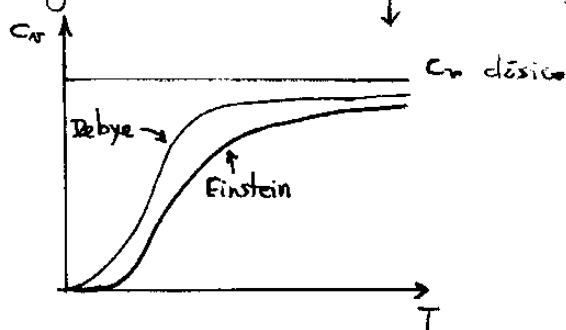
↑ La acústica es lineal y la óptica es constante

$$\epsilon_{\text{óptica}} = \frac{n\hbar\omega_e}{e^{\beta\hbar\omega_e} - 1}$$

$$C_V = \sum_p \frac{\partial}{\partial T} \left( \frac{n\hbar\omega_e}{e^{\beta\hbar\omega_e} - 1} \right)$$

# de ramas ópticas

En general se tendrá:



$C_V$  clásico

T

Vemos que el modelo de Einstein presenta un descenso exponencial a bajas T, mientras que a altas T cada rama óptica contribuye con un término constante  $k_B/V$  como marca Dulong & Petit.

Una solución interpolada adecuada es sumar:

$$C_V = C_V^{\text{Debye}} + C_V^{\text{Einstein}}$$

\* asociado a la dificultad de excitar un modo óptico a bajas T.

## Aharmonicidades

El modelo armónico no da un  $C_V \rightarrow C_V^{\text{exp.}}$  a altas T. El modelo armónico falla pues:

- No hay transición de fase
- $\alpha$  (const. térmica)  $\rightarrow \infty$  [por la independencia de los modos]
- $C_V \rightarrow T$
- $\omega \neq \omega(T) \Rightarrow$  no hay expansión térmica
- Constantes elásticas indep. de  $P$  y  $T$ .

Ahora la energía lucirá como:

$$E = E_0 + A \left( \frac{u^2}{2} + B \left( \frac{u^3}{3} + C \left( \frac{u^4}{4} \right) \right) \right)$$

Interacción entre modos

'ablandamiento' de los modos

$\rightarrow$  Transición de fase

$$\alpha = \frac{1}{\langle L \rangle} \cdot \frac{\partial \langle L \rangle}{\partial T} \quad \text{coeficiente de expansión térmica}$$

$$\alpha = 0 \quad \text{con } E^{[2]}$$

$$E = c_2 u^2 - c_3 u^3 - c_4 u^4$$

$$\langle L \rangle = \frac{\int du \, u \, e^{-\beta E(u)}}{\int du \, e^{-\beta E(u)}}$$

## Densidad de Estados

→ donde S corresponde a sumar las ramas

$$g(\omega) = \sum_S \int_{1/2B} \frac{d\vec{q}}{(2\pi)^3} \delta(\omega - \omega_s[\vec{q}])$$

← densidad de niveles de fonones

$$g(\omega) = \sum_S \int_{1/2B} \frac{d\vec{q}}{(2\pi)^3} \frac{1}{|\nabla \omega_s(\vec{q})|}$$

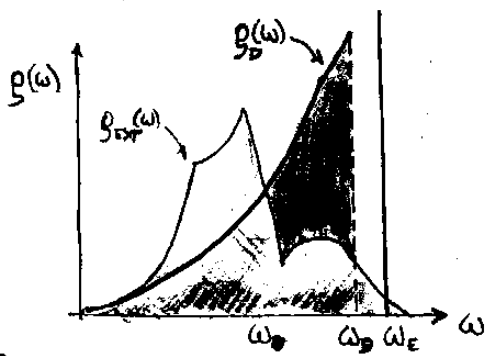
← Esto presentará singularidades de Van Hove cada vez que se anula el grad ( $\omega_s(\vec{q})$ ).

$$g_D(\omega) = \sum_{q < q_f} \int \frac{d\vec{q}}{(2\pi)^3} \delta(\omega - \omega_q) = \frac{3}{2\pi^2} \int_0^\infty q^2 dq \delta(\omega - \omega_q)$$

$$g_D(\omega) = \begin{cases} \frac{3}{2\pi^2} \cdot \frac{\omega^2}{C^2} & \omega < \omega_D \\ 0 & \omega > \omega_D \end{cases}$$

$$dq = \frac{d\omega}{C}$$

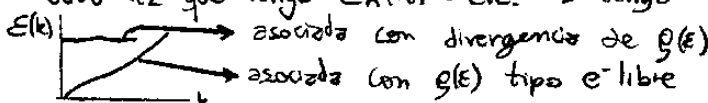
$$q^2 dq = \frac{\omega^2 d\omega}{C^2}$$



La  $g_D(\omega)$  es tal que el área bajo su curva es la misma que la  $g_{\text{exp.}}(\omega)$

obs.

Cada vez que tengo  $E_n(k) \sim \text{cte.} \rightarrow$  tengo  $g(E)$  divergiendo



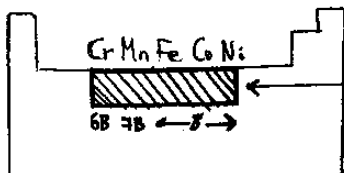
## ■ Temas de Magnetismo

Orden magnético: refiere a presentar efectos magnéticos en ausencia de campo externo.

Las fuentes de magnetismo son:

- spin del electrón
- Momento orbital magnético

Para tener momento magnético no nulo en un átomo necesito capa abierta. Casi todos los átomos tienen mom. magnéticos permanentes pero pocos generan orden magnético.



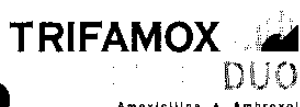
Tienen orden magnético, tienen capa 3d llena con más de la mitad



Comprimidos x 14  
Suspensión x 30 y 60 ml.



Comprimidos x 14  
Suspensión x 50 y 90 ml.



Comprimidos x 14  
Suspensión x 50 ml



Comprimidos x 16  
Suspensión x 60 ml.  
Suspensión x 90 ml.



Comprimidos x 10



Comprimidos x 6 y 10  
Suspensión x 30 y 60 ml.



Comprimidos x 10 y 20



Penicilina Benzatínica  
Ampollas de 1.200.000 U.I. x 1  
Ampollas de 2.400.000 U.I. x 1



A la vanguardia en antibioticoterapia

Sistemas no magnéticos [no tienen orden de largo alcance]	Aistantes	<ul style="list-style-type: none"> <li>• Diamagnetismo de Landau</li> <li>• Capa llena: <math>\vec{m} = 0</math> generan corrientes o puestas al campo externo.</li> </ul>
	Metales	<ul style="list-style-type: none"> <li>• Diamagnetismo Landau [Ror el mov. electrónico]</li> <li>• Paramagnetismo de Pauli [origen en el spin de los electrones <math>\Rightarrow</math> necesita capa semillena]</li> </ul>
Sistemas magnéticos [orden de largo alcance]	<ul style="list-style-type: none"> <li>No Metales</li> <li>Metales (<math>e^-</math> no localizados)</li> </ul>	<ul style="list-style-type: none"> <li>■ Modelo de Heisenberg</li> <li>■ Magnetismo de spin: Modelo de Stoner</li> <li>• ferromagnetismo <math>\vec{M} \neq 0</math></li> <li>• antiferromagnetismo <math>\vec{M} = 0</math></li> <li>• ferrimagnetismo <math>\vec{M} \neq 0</math> [de menor cuantía que ferrom., pues hay diferentes <math>\vec{m}_i</math>]</li> </ul>

$$\chi = \frac{1}{V} \cdot \frac{\partial \vec{M}}{\partial \vec{B}}$$

Susceptibilidad: es la función respuesta

$\chi > 0$  Paramagnéticos  
 $\chi < 0$  Diamagnéticos

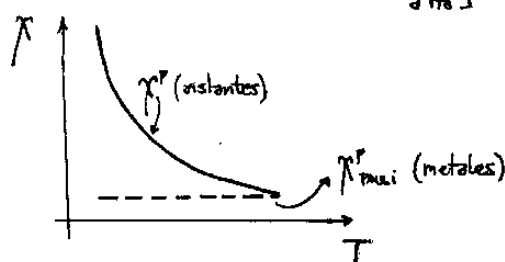
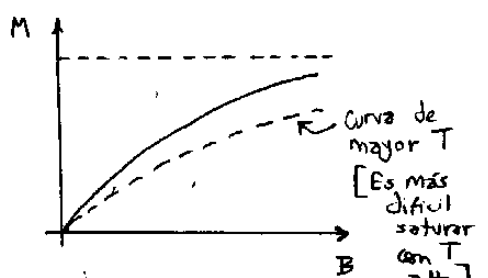
• Magnetismo en aistantes

$$\chi^P \propto \frac{1}{T} \quad \leftarrow [\text{ley de Curie}]$$

$$\chi^P = \frac{N}{V} g \mu_B \frac{J(J+1)}{k_B T}$$

$$\chi^d \neq \chi^d(T)$$

$$\chi^P \gg \chi^d (T_{AMB})$$



- Aislantes
  - $\vec{J} = \vec{L} = \vec{S} = 0 \Rightarrow$  Capa llena
  - $\vec{J} = 0$
  - $\vec{J} \neq 0$

$\xrightarrow{\quad}$  Capa semillena  
 $\downarrow$   
 $\vec{J}'$  importante aquí

HUND

- $S_{\text{Max}}$
- $L_{\text{Max}}$
- $J_{\text{Max}} \rightarrow$  Mitad + 1 llena
- $J_{\text{Min}} \rightarrow$  Mitad + 1 vacía

Las reglas de Hund establecen la forma de los momentos magnéticos de los átomos.

### • Sistemas con Orden Magnético

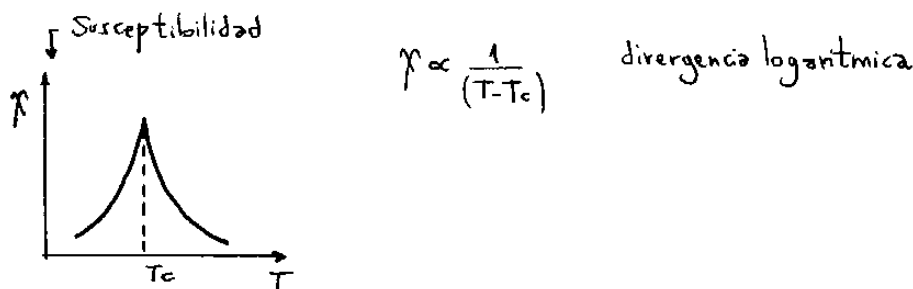
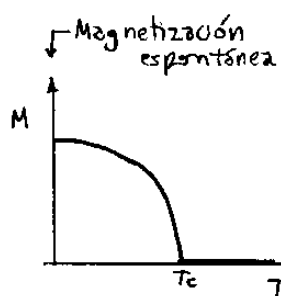
Un sistema que presenta orden magnético tiene, para  $T < T_c$ , formación de dominios macroscópicos. Que un sistema sea magnético o no depende de la minimización de la energía. La interacción de intercambio la justifica. También aporta la interacción spin-orbita [que aumenta con la disminución de la dimensionalidad].

ferromagnéticos      antiferrom.

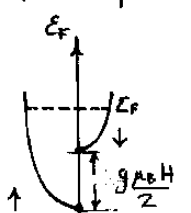
EL hamiltoniano de Heisenberg nos provee un modelo ferromag.

$$\hat{H} = \frac{1}{2} \sum_{ij} J_{ij} \vec{S}_i \cdot \vec{S}_j$$

hamiltoniano  
de Heisenberg



En un sistema paramagnético metálico es el spin toda la contribución. Paramagnetismo de Pauli supera que  $L=0$  pero  $\vec{S} \neq 0$



$$E = \frac{k^2 h^2}{2m} - g \frac{\vec{H} \cdot \vec{S}}{h}$$

$$M = \mu_B \beta(E_F) H$$

$\beta \propto \text{cte. (no depende de } T)$

### • Interacción magnética en un gas de electrones libres

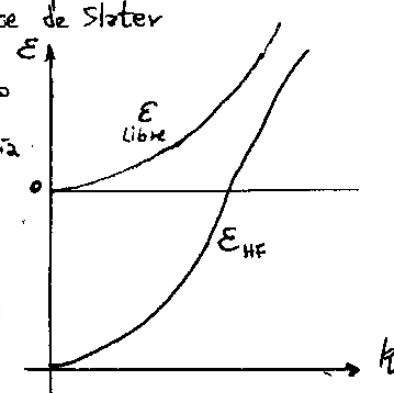
Sumamos al gas de e-libres la antisimetría de  $\Psi$

$$\Psi_0 = \frac{1}{\sqrt{2}} (\Psi_1 \Psi_2 - \Psi_2 \Psi_1)$$

Metemos ondas planas en el determinante de Slater

$$E = \frac{k^2 h^2}{2m} - \frac{1}{V} \sum_{k \leq k_F} \frac{4\pi e^2}{|\vec{k} - \vec{k}'|^2}$$

Surgió un término de intercambio que baja la energía



$$E = N \left[ \frac{3}{5} (k_F a_0)^2 - \frac{3}{2\pi} \frac{(k_F a_0)}{Z a_0} \right] \frac{e^2}{Z a_0}$$

$$E = N \left[ \frac{3}{10} \frac{k^2 h^2}{m} - \frac{3}{4\pi} k_F e^2 \right]$$

Proviene del término de intercambio

$$\boxed{\frac{N^+ - N^-}{N} = P} \Rightarrow N_\downarrow^+ = \frac{N}{2} (1+P)$$

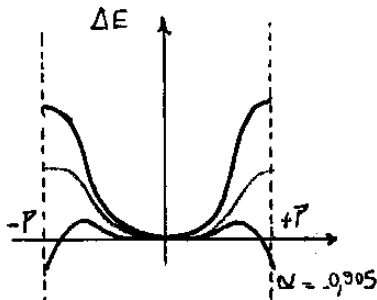
$$m = -g \mu_B \left( \frac{N^+ - N^-}{V} \right)$$

densidad de magnetización

Llego a una expresión para  $E(P)$ . Con  $E(P=0)$  no hay  $\vec{M}$  y tengo un mínimo de energía.



Comprimidos x 14  
Suspensión x 30 y 60 ml.



Definiendo:

$$\Delta E = E(P) - E(T=0)$$

Tengo una solución más estable con la curva azul.

La transición se da cuando:

$$\frac{r_s}{a_0} > 5.4 \quad , \quad \alpha = f(r_s/a_0)$$

Este comportamiento no se observa en la realidad porque a este modelo le falta la correlación. Los sistemas que presentan  $\vec{M}$  son sólidos. Los electrones responsables del magnetismo en la materia son los 4d, 5d; no los libres.



Comprimidos x 14  
Suspensión x 50 y 90 ml.

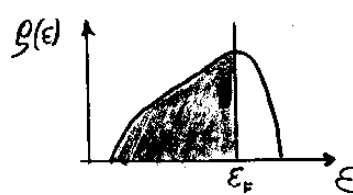
Son modelos de partícula independiente



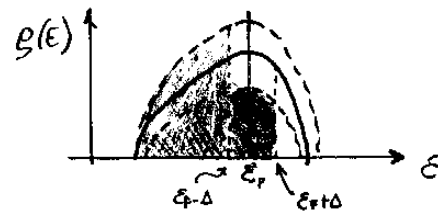
Comprimidos x 14  
Suspensión x 50 ml

**Modelo de Stoner**

Modelo para metales que tiene en cuenta el término de intercambio.



$$N = N^+ + N^-$$



$$N^+ = \int_{-\infty}^{E_F + \Delta} g(E) \cdot dE \quad (\approx T=0)$$

$$N^- = \int_{-\infty}^{E_F - \Delta} g(E) \cdot dE$$

La  $g(E)$  se splita en dos.

$$\frac{M}{M_0} = N^+ - N^- \rightarrow \frac{M}{\mu_B} \approx 2\Delta g(E_F)$$

La energía de intercambio es

$$E_x = -J \left( \frac{N^+(N^+-1)}{2} + \frac{N^-(N^-+1)}{2} \right)$$

integrand de intercambio

Interacción con electrones del mismo spin

$$E_x(P) - E_x(P=0) = -\frac{J}{4} M^2$$

$$J = \frac{1}{g(E_F)} \rightarrow$$

$$M = (N^+ - N^-)/\mu_B$$

si

$$J \cdot g(E_F) > 1$$

Condición de sistema ferromagnético

$$g(E_F) = (g^+ + g^-) \frac{1}{2}$$



Comprimidos x 10



Comprimidos x 6 y 10  
Suspensión x 30 y 60 ml.



Comprimidos x 10 y 20

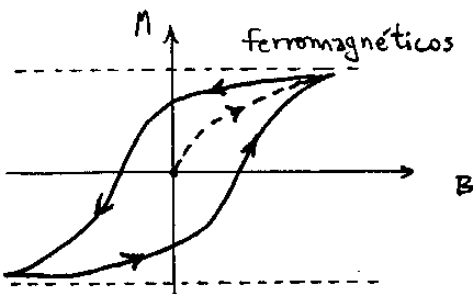
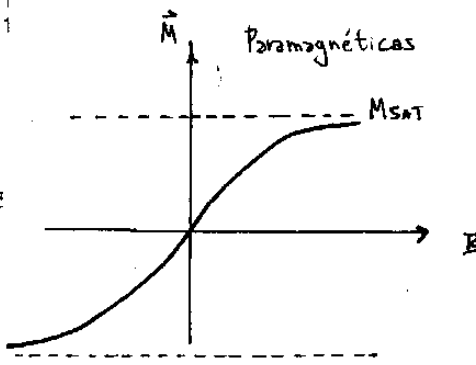


Penicilina Benzatínica

Ampollas de 1.200.000 U.I. x 1

Ampollas de 2.400.000 U.I. x 1

$J$  varía poco entre los elementos 3d (1eV/átomo). Para modificar el  $\vec{M}$  se requiere aumentar la densidad de estados (subir # vecinos ó bien disminuir la dimensionalidad del problema)



A la vanguardia en antibioticoterapia

www.bago.com.ar

## Sobre la discretización y las condiciones de contorno



Comprimidos x 14  
Suspensión x 30 y 60 ml.



Comprimidos x 14  
Suspensión x 50 y 90 ml.



Comprimidos x 14  
Suspensión x 50 ml



Comprimidos x 16  
Suspensión x 60 ml.  
Suspensión x 90 ml.



Comprimidos x 10



Comprimidos x 6  
Suspensión x 30 y 60 ml.



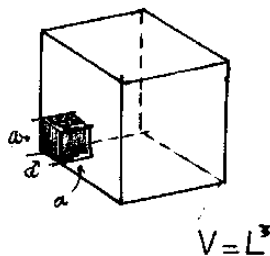
Comprimidos x 10 y 20



Ampollas de 1.200.000 U.I. x 1  
Ampollas de 2.400.000 U.I. x 1



Tratamos con estructuras SC

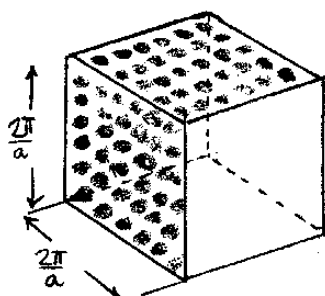


Cristal real  $\rightarrow N$  electrones  
 $L^3 = V$  volumen

$$\frac{N}{V} = n$$

densidad de electrones

$a^3 = \text{volumen celda primitiva real}$



$\left(\frac{2\pi}{a}\right)^3 = \text{volumen celda primitiva red recíproca}$

Por condiciones Born-Von Karman es:

$$\vec{k} = \frac{2\pi}{L} (n_x \hat{x} + n_y \hat{y} + n_z \hat{z})$$

$$\Delta \vec{k} = \left(\frac{2\pi}{L}\right)^3 = \text{Volumen de un } \vec{k} \text{ permitido}$$

$$\# \text{ celdas prim. reales} = q = \frac{V}{a^3}$$

$$q = \frac{V}{a^3} \left(\frac{2\pi}{a}\right)^3 = \frac{\left(\frac{2\pi}{a}\right)^3}{\left(\frac{2\pi}{L}\right)^3} = \frac{\text{volumen celdas prim. reciproca}}{\text{volumen de un } \vec{k} \text{ permitido}} = \# \vec{k} \text{ permitidos en una celda reciproca}$$

$$q = \frac{V}{(2\pi)^3} \cdot \left(\frac{2\pi}{a}\right)^3 = \# \vec{k} \text{ perm.} \cdot \frac{\text{volumen celdas prim. reciproca}}{\text{volumen de una celda reciproca}}$$

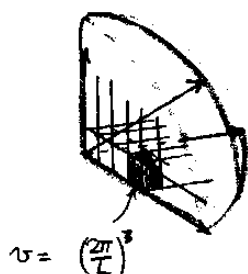
$$n = \frac{N}{V} = \frac{N}{a^3 \cdot q} = \frac{Nq}{a^3} \rightarrow \text{electrones} \times \text{celda}$$

$$\# \vec{k} \text{ perm.} = q = \# \text{ celdas reciprocas}$$

Mi sistema tiene  $N$  electrones  $\rightarrow \left(\frac{N}{2}\right) \vec{k}$  perm. totales  $\Rightarrow$  si  $Nq = 1 \rightarrow$   
 $N = q \Rightarrow$  hay  $N$

$\vec{k}$  perm. en la celda reciproca (me alcanza con  $1/2$  celda para tenerlos todos)

Esférica de Fermi. Llena todos los volumenitos hasta  $k_F$ .



$$V = \frac{4}{3} \pi k_F^3$$

$$\frac{\text{volumen esterilla Fermi}}{\text{volumen } \vec{k} \text{ permitido}} = \frac{\# \vec{k} \text{ permitidos}}{\# \vec{k} \text{ permitidos}}$$

$$\left(\frac{2\pi}{V}\right)^3 \cdot \# \vec{k} \text{ perm.} = \frac{4}{3} \pi k_F^3$$

$$\# \vec{k} \text{ perm.} = \frac{V}{8\pi^3} \cdot \frac{4}{3} \pi k_F^3$$

$$\# \vec{k} \text{ perm.} = \frac{V}{6\pi^2} k_F^3$$

$$\frac{N}{2} = V \frac{k_F^3}{6\pi^2}$$

$$n = \frac{k_F^3}{3\pi^2}$$

un  $\vec{k}$  permitido puede tener 2 electrones

$$\frac{N_q}{a^3} = \frac{k_F^3}{3\pi^2}$$

$$k_F = \left(\frac{3\pi^2 N_q}{a^3}\right)^{1/3}$$